

## Determining the Origin of Chemical and Biological Pollutants in the Water of Mighan Wetland in Arak

Feridon Ghadimi<sup>1\*</sup>

1- Associate Professor of Geology, Department of Mining Engineering, Arak University of Technology,  
Arak, Iran  
(\*Corresponding Author Email: [ghadimi@arakut.ac.ir](mailto:ghadimi@arakut.ac.ir))

### 1. Introduction:

Pollution of wetlands is important because, in addition to damaging the ecosystem of a wetland and destroying living organisms, it can also be dangerous to the health of people living nearby. The entry of chemical fertilizers, municipal sewage, hazardous hospital and industrial wastewater into the wetlands, as well as the disposal of waste in their vicinity, can contaminate the wetland. One of the most important factors that put wetlands in a serious danger and has a very destructive effect on their fauna and flora is biological pollution caused by human activities and land use. Wetlands' water resources often contain chemical impurities. These impurities are caused by air pollution, soil pollution, or pollutants caused by human activities that are discharged into the environment in the form of solid and liquid waste. In addition to human activities affecting wetland pollution, the natural conditions prevailing in the wetland area are also effective in the chemical composition of wetlands. The rocks above each wetland determine the chemical composition of its water and soil resources.

The central wetlands of Iran, including the Mighan Arak wetland, are mostly saline and their salinity has reached the groundwater aquifers of the adjacent plains due to human interference. This phenomenon, which has been a kind of human pollution under the advancing salinity front in aquifers, is seen in most coastal aquifers and central aquifers in Iran. Arak Mighan wetland is one of the wetlands of central Iran that is salty. Local and migratory birds, local animals, and aquatic animals benefit from the Mighan wetland. The most important water sources that feed the wetland are groundwater, treated wastewater from the city of Arak, and surface runoff in the wet months. The purpose of this study is to identify the chemical and biological pollutant variables of wetland water in comparison with drinking standard water to identify chemical and biological pollutant variables and to determine the most important natural and human sources of pollution in wetland water pollution using multivariate statistical analysis.

### 2. Materials and Methods:

Arak watershed with an area of 5500 Km<sup>2</sup> is a closed area. About 62% of the area is covered by highlands, 36% by plains, and 2% by the Mighan wetland. The average annual temperature and rainfall in Arak are 14° and 350 mm, respectively. The wetland consists of two parts: the island in the center, and the lake around the island which has an average water depth of half a meter. The Mighan wetland alluvium with a thickness of 300 meters is located on the limestone rocks of Cretaceous formation.

Thirty-two water samples in the fall of 1397 (2018) from different uses (6 island samples, 6 lake samples, 10 agricultural well samples, 1 sample of Amlah company, 2 industrial effluent samples, 4 Arak urban sewage samples, and 3 repeated samples to determine the results tests) were taken from the lagoon and surrounding water resources. The measured variables included: electrical conductivity, calcium, magnesium, potassium, sodium, chlorine, sulfate, fluorine, nitrate and phosphate, bicarbonate, BOD, and COD. The accuracy of the data was about one milligram per liter.

The data were analyzed using Excel, Statistica, RockWare, and ArcGIS software. Among the various variables, 11 of the chemical and biological variables were selected and their concentrations in saline and freshwater were compared with the international drinking standards.

### 3. Discussion:

The water is concentrated in the Mighan wetland of Arak in the two uses of the ponds (ponds resulting from the extraction of sodium sulfate in the central island) and the lake (around the central island). Uses such as mineral water wastewater, Arak municipal treated wastewater, industrial effluent,

and agricultural wells are considered as potential sources of pollution for the water of the Mighan wetland. The high concentration of chemical compounds such as EC, TDS, SO<sub>4</sub>, and Cl above the drinking standard showed the nature of the salinity of the water in the Mighan wetland. A study of the salinity origin of Mighan water showed that salinizing variables such as SO<sub>4</sub> and Cl anions, as well as cations such as Na and K, were related to gypsum and salt rocks in the northern highlands (Ashtian region) of the Mighan area. A similar trend has shown that the dissolution of evaporative minerals from the heights of the Torbat-e Heydariyeh plain and transfer to groundwater has caused all of the plain's waters to be of the sodium chloride and sodium sulfate types. An examination of the inflows of surface water and groundwater to the Mighan wetland showed that the northern waters of the wetland had the SO<sub>4</sub>-Cl-Na type and the southern waters had HCO<sub>3</sub>-Ca type. Mixing of surface water and groundwater with the Mighan wetland water has caused the SO<sub>4</sub>-HCO<sub>3</sub>-Na-Ca type. The effluent of the Iranian Salt Company (extracting sodium sulfate from the basins of the central island) had high EC, TDS, SO<sub>4</sub>, and Cl. About 60 percent of the water in the wells around the wetland, which was used for agriculture, was almost salty due to the high EC, TDS, SO<sub>4</sub>, and Cl. The compatibility of SO<sub>4</sub> and Cl agricultural waters was almost salty with SO<sub>4</sub> and Cl. The Mighan wetland water indicated the salinity of the region's wells from the wetland water. A similar trend of groundwater salinization in the Shabestar plain indicated the infiltration of saline water from Lake Urmia into the groundwater aquifer of the adjacent plain.

Factor analysis was used to determine the relationship between chemical compounds and to investigate the origin of compounds. In factor analysis, three factors explained 88.9% of the variance. The first factor (56.96%) included EC, TDS, SO<sub>4</sub>, and Cl. The second factor included F, NH<sub>3</sub>. The third factor included PO<sub>4</sub>, HCO<sub>3</sub>. Given the first factor of factor analysis and the effectiveness of variables such as EC, TDS, SO<sub>4</sub>, and Cl, as well as the increase in this factor in the zoning map to Mighan wetland, it is obvious that the salinity of the wetland and effluent of the company is natural salts, while the salinity of the wells around the Mighan lagoon is the result of human activity. In the zoning map, the second factor with variables F, NH<sub>3</sub> had a focus on the water area of the wetland (island and lake) of Mighan. Also, due to the high share of NH<sub>3</sub> (0.91) compared to F (0.84) in factor analysis, the increase in NH<sub>3</sub> was the human factor while F was the natural factor. On the other hand, F, SO<sub>4</sub>, and Na have been found in waters that have been under the influx of brackish water from the Mighan wetland; therefore, F in the water of the wetland has a natural origin. The presence of F in some water of agricultural wells indicated the infiltration of saltwater in the Mighan wetland. On the other hand, NH<sub>3</sub> is found in only a small number of water samples in the Mighan wetland (ponds and lakes), which is higher than the standard drinking level. NH<sub>3</sub> is a source of organic nitrogen compounds and bacteria. The third factor involved factor analysis of PO<sub>4</sub> and HCO<sub>3</sub>, in which the role of PO<sub>4</sub> was more pronounced. The PO<sub>4</sub> of Mighan Lake, urban sewage, and industrial wastewater were far higher than the standard. Phosphate was introduced into surface, groundwater, and wetlands through domestic wastewater (containing synthetic cleaners) or agricultural effluents, or industrial wastewater. Phosphorus is one of the essential elements for the growth of algae. More than 70% of the phosphorus compounds in wastewater are due to the use of detergents. Since the concentration of PO<sub>4</sub> in treated wastewater is very high, sewage is the source of human pollution in the wetland. On the other hand, the high concentration of PO<sub>4</sub> in the water entering the wetland has caused a large growth of plants in the area.

The concentration of bicarbonate ions (HCO<sub>3</sub>) in the water composition of Mighan Wetland Lake and some wells in the southern part of the Mighan wetland was high while its concentration in other waters was lower than the standard. Bicarbonate indicates the presence of limestone. Due to the dissolution of calcareous and dolomite rocks, bicarbonate compounds have been obtained that have been directed to surface and groundwater. The southern part of the Mighan wetland is composed of Cretaceous limestone and dolomite rocks, which have been the most important source of bicarbonate of water in the Mighan wetland and wells in the region. High levels of bicarbonate ions are natural contaminations that are not controlled by humans.

Studies have shown that in saline waters with a chlorine concentration of more than 35,000 mg per liter, even if there are small amounts of organic matter, the amount of BOD and COD is exaggerated. Since the water of the Mighan wetland has a Cl of more than 35000 mg per liter, so BOD and COD in the water of the wetland have not been suitable criteria for biological pollution.

#### 4. Conclusion:

Arak's treated municipal wastewater, the effluent of the Minerals and Industries Solutions Company, as well as the surrounding groundwater have been the most important sources of human pollution that have the potential to pollute the wetland's water. Due to the fact that groundwater is located downstream of agricultural lands and large industries, no chemical and biological pollutants from agricultural and industrial effluents have been seen in the water of the Mighan wetland. Arak treated wastewater is the most important source of water entering the wetland, which has introduced phosphate and ammonia into the water of the wetland. Therefore, the water of the Mighan wetland is without chemical and biological pollution and the only effect of the wetland can be the salt forward. This phenomenon is due to the drop in the groundwater level in the region with human intervention. Therefore, basic measures must be taken to raise the groundwater level during the aquifer management operations in the plains around the wetland and to control the drainage of wells and the removal of unauthorized wells.

**Keywords:** Pollutants, Factor Analysis, Water Use, the Mighan Wetland, Arak.

#### References:

- Abdi, L., & Rahimpour Bonab, H. (2012). *Hydrology and Hydrochemistry of Mighan Playa in Relation to Geological Formations in the Region*. 16th Conference of Iranian Geological Society, Shiraz, Shiraz University.
- Abedini, A., Mirzajani, A., & Fallahi, M. (2018). Physicochemical Conditions and Trophic Levels of the Anzali Wetland. *Iranian Scientific Fisheries Journal*, 26(6), 113-123.
- Adesuyi, A. A., Nnodu, V. C., Njoku, K. L., & Jolaoso, A. (2015). Nitrate and Phosphate Pollution in Surface Water of Nwaja Creek, Port Harcourt, Niger Delta, Nigeria. *International Journal of Geology, Agriculture and Environmental Sciences*, 3(5), 14-20.
- Allahdadi, M., & Ghadim, F. (2014). *Investigation of Environmental Effects of Sodium Sulfate Mine on Mighan Playa*. 32<sup>nd</sup> National & the 1<sup>st</sup> International Geosciences Congress.
- Asghari Moghadam, A., & Mohammadi, A. (2003). Sources of Salinity in Groundwater of Shabastar Plain Aquifers. *Journal of Agricultural Science*, 13(3), 69-78.
- Atta Maleki, A., Sadeghi, Sh., Dolati, M., Gholami, M., & Ghorbanpour, R. (2015). Measuring and Monitoring of Organic Matter and Nutrients along Chenaran River of Bojnurd. *Journal of Safety Promotion and Injury Prevention*, 3(1), 67-74.
- Azizi, F., Asghari Moghadam, A., & Nezami, A. H. (2017). Evaluation of Groundwater Salinity and Explanation of the Origin of Ions in the Coastal Aquifer of Malekan Plain Using Ion Ratios. *Journal of Environmental Studies*, 43(3), 437-454.
- Basatnia, N., Hossein, S. A., Rodrigo-Comino, J., Khaledian, Y., Brevik, E. C., Aitkenhead-Peterson, J., & Natesan, U. (2018). Assessment of Temporal and Spatial Water Quality in International Gomishan Lagoon, Iran, Using Multivariate Analysis. *Journal of Environmental Monitoring and Assessment*, 190(5), 1-17.
- Binay Motlagh, A. (2010). *Instructions and Methods for Measuring Physicochemical Agents and Toxic Mineral Chemicals in Drinking Water*. Tehran: Ministry of Health and Medical Education.
- Fallah, M., Fakhrian Isfahani, S., Pir Ali Zafraei, A. R., & Farhadian, A. (2013). *Monitoring Changes in the amounts of Heavy Metals, Phosphate and Nitrogen in Anzali International Wetland*. The First National Conference on Sustainable Management of Soil Resources and Environment, Kerman, Shahid Bahonar University of Kerman.
- Fathi, P., Isa Ebrahimi, A., & Ismaili, A. R. (2015). Choghakhor Water Quality Assessment Using WQS Index. *Journal of Animal Environment*, 7(3), 119-128.
- Ghadimi, F., & Ghomi, M. (2012). Statistical Analysis of the Hydrogeochemical Evolution of Groundwater in Alluvial Aquifer of Arak Mighan Playa, Markazi Province, Iran. *Journal of Water Sciences Research*, 4(1), 31-45.
- Ghadimi, F., & Ghomi, M. (2013). Geochemical Evaluation of Drinking Water in Arak City, Iran. *Iranian Journal of Earth Sciences*, 5(2), 54 -65.

- Ghadimi, F., Ghomi, M., & Azimi, R. (2015). Sources of Nitrate and Bromide Contaminants of Groundwater in Alluvial Aquifer of Arak, Iran. *Journal of Tethys*, 4(2), 100-115
- Gradilla-Hernández, M. A., Anda, J., García-González, A., Meza-Rodríguez, D., Yebra Montes, C., & Perfecto-Avalos, Y. (2020). Multivariate Water Quality Analysis of Lake Cajitlán, Mexico. *Journal of Environmental Monitoring and Assessment*, 192(1), 1-22.
- Haghparast, M., Pir Kharati, H., & Mohammadi, A. (2013). *Investigation of Salinity Origin of Groundwater in Rashkan Plain*. The Second National and Specialized Conference on Environmental Research in Iran, Hamedan, Shahid Mofteh University.
- Hassani Pak, A. (1982). *Principles of Geochemical Exploration*. Tehran: University Publishing Center.
- Hoguane, M. A. (2010). *Dissolved Oxygen and Biochemical Oxygen Demand in the Jeremias Joaquim Mocuba*. Master Thesis in Chemical Oceanography, Geophysical Institute, University of Bergen, Norway.
- Iscen, C. F., Emiroglu, O., Ilhan, S., Arslan, N., Yilmaz, V., & Ahiska, S. (2008). Application of Multivariate Statistical Techniques in the Assessment of Surface Water Quality in Uluabat Lake, Turkey. *Journal of Environmental Monitoring and Assessment*, 144(1), 269–276.
- Jafari, R., & Bakhshandehmehr, L. (2014). Analyzing the Spatial Variations of Groundwater Salinity and Alkalinity in Isfahan Province Using Geostatistics. *Journal of Water Soil Science*, 18(68), 183-195.
- Khodabakhsh, S., Rafiei, B., Afsharnia, M., Kabiri, S., & Ikhlasmand, R. (2015). Identification of the Origin of Water Soluble Substances in Khorrood Qazvin River by Statistical Method. *Quaternary Journal*, 2(4), 367-378.
- Lahijani, H., Haeri Ardakani, O., Sharifi, A., & Naderi Beni, A. (2010). Sedimentological and Geochemical Characteristics of the Gorgan Bay Sediments. *Journal of Oceanography*, 1(1), 45-55.
- Moghimi, M. M., & Amin, S. (2016). Consideration of Effective Factors on Un-Ionized Ammonia Concentration and Effect of this Material on Aquatic Organisms in the Kor River. *Journal of Irrigation and Water Engineering*, 6(2), 37-47.
- Mohajerani, Sh., & Amini, A. (2000). *Sedimentology of Miyan Desert with a Special Approach and How to Evaporate Deposits*. The Fourth Conference of the Geological Society of Iran, Tabriz, University of Tabriz.
- Mozaffarizadeh, J., & Sajjadi, Z. (2013). Investigation of Saline Water Intrusion in the Borazjan Freshwater Aquifer from the Dalaki and Helleh Rivers. *Journal of Water Resources Engineering*, 6(16), 69-78.
- Muhamram Nejad, N. (1999). *Environmental Rules and Standards*. Tehran: Environmental Protection Agency.
- Nakhaei, M., Wadiati, M., & Saberi Nasr, A. (2011). *Evaluation of Hydrogeochemical Evolution of Torbat Heydariyeh Plain*. 15th Conference of Iranian Geological Society, Tarbiat Moallem University, Tehran.
- Perry, C., & Taylor, K. (2007). *Environmental Sedimentology*. London: Blackwell Publishing.
- Pisarska, P., Mikołajczak, W., Jaroszek, H., Nowak, M., Dylewski, R., & Cichy, B. (2017). Processing of Sodium Sulphate Solutions Using the EED Method: From a Batch Toward a Continuous Process. *Journal of Chemical Technology*, 19(1), 54-58.
- Samadi, J. (2016). Survey of Spatiotemporal Impact of Land Use on Water Quality in Chaghakhor Wetland Using IRWQI Index and Statistical Methods. *Journal of Iran-Water Resources Researches*, 11(3), 159-171.
- Shahbazi, R., & Feiznia, S. (2011). Geological Effects on Degradation of Surface Water and Groundwater Quality in Central Drainage Basin of Iran (Case Study: Cheshme-Ali Damghan Watershed). *Journal of Environmental Erosion Researches*, 1(1), 93-104.
- Sheikh Fakhradini, S., & Abbasnejad, A. (2015). The Influence of Weathering on Hydrogeochemistry of Streams Draining Volcanic Rocks: Bidkhan Stream, Southeast of Bardsir in Kerman. *Journal of Geography and Planning*, 19(53), 203-226.
- World Health Organization (WHO) (2017). *Guidelines for Drinking-Water Quality*. Fourth Edition. Geneva: Incorporating the First Addendum.



## تعیین منشاء آلاینده‌های شیمیایی و بیولوژیکی تالاب میقان اراک

فریدون قدیمی<sup>\*</sup>، دانشیار گروه مهندسی معدن، دانشگاه صنعتی اراک، اراک، ایران

ghadimi@arakut.ac.ir

چکیده

تالاب میقان اراک از تالاب‌های آب شور است که به دلیل جذب پرنده‌گان مهاجر و املاح تبخیری از نظر اکو و زئوتوربسم اهمیت دارد. با ورود فاضلاب شهر اراک، پساب شرکت املاح و پساب صنایع به تالاب، سلامت پرنده‌گان و آبزیان در معرض خطر است. هدف پژوهش حاضر، تعیین منابع آلاینده شیمیایی و بیولوژیکی تالاب میقان است؛ بر این اساس ۲۲ نمونه آب در کاربری‌های مختلف از آب شور و شیرین محدوده تالاب برای تعیین هدایت الکتریکی، غلظت کاتیون‌ها (کلسیم، میزیم، پتاسیم، سدیم)، آنیون‌ها (کلر، سولفات، فلوئور، نیترات، فسفات، بی‌کربنات)، COD<sup>۱</sup> و BOD<sup>۲</sup> برداشت شد. مهم‌ترین آب‌های تغذیه‌کننده تالاب، آب‌های زیرزمینی و فاضلاب شهری است. آب‌های زیرزمینی آلودگی بیولوژیک و نقشی در آلودگی آب تالاب ندارند. با پیشروی آب شور تالاب، شوری آب‌های زیرزمینی از استاندارد (WHO)<sup>۳</sup> ۱/۸۰ به ۳/۹۲ میکروموس بر سانتی‌متر افزایش یافته است. پساب ورودی شرکت املاح معدنی به آب تالاب با BOD<sup>۴</sup> برابر با ۲۹ نسبت به استاندارد ۳۰ میلی‌گرم در لیتر آلودگی بیولوژیک ندارد. با ورود فسفات ۳/۳ بیش از استاندارد ۰/۲ میلی‌گرم در لیتر فاضلاب شهری اراک به تالاب میقان، پوشش جنگلی انبوه ایجاد شده که سکونتگاه پرنده‌گان محلی و مهاجر است. شوری زیاد آب تالاب برابر با ۲۰۹ میکروموس بر سانتی‌متر به دلیل سنگ‌های نمکی و گچی ارتفاعات شمالی است که منشاء ترکیب شیمیایی بزرگ‌ترین معدن سولفات سدیم ایران شده است.

**واژه‌های کلیدی:** آلاینده، تحلیل عاملی، کاربری آب، تالاب میقان، اراک

- 
1. Biochemical oxygen demand
  2. Chemical oxygen demand
  3. World health organization

\*نویسنده مسؤول

Copyright©2020, University of Isfahan. This is an Open Access article distributed under the terms of the Creative Commons Attribution License (<http://creativecommons.org/licenses/BY-NC-ND/4.0>), which permits others to download this work and share it with others as long as they credit it, but they can't change it in any way or use it commercially.

[Doi: 10.22108/gep.2021.125608.1366](https://doi.org/10.22108/gep.2021.125608.1366)

## ۱. مقدمه

تالاب‌ها به دلیل واقع شدن در پست‌ترین نقاط حوضه‌های آبخیز، معمولاً از تغییرات و تحولات بالادست تأثیر می‌پذیرند (عبدالینی و همکاران، ۱۳۹۶: ۱۱۳). کاهش آب ورودی به تالاب‌ها از منابع آب سطحی و زیرزمینی حوضه آبخیز و دشت‌های اطراف تالاب‌ها (تأمین نشدن حقابه زیست‌محیطی تالاب‌ها) و ورود انواع آلینده‌های بیولوژیکی، شیمیایی و فیزیکی گسیل شده از مزارع کشاورزی، شهرها، آبادی‌ها، صنایع و رسبوبات ناشی از فرسایش خاک بالادست تالاب‌ها، مهم‌ترین مشکلاتی است که بر تالاب‌ها تأثیر می‌گذارد (lahijani و همکاران، ۱۳۸۹: ۴۵). تالاب‌ها، محیط‌های آبی بسته‌ای هستند که با توجه به تأثیرپذیربودن از ترکیبات شیمیایی، محیط‌های آسیب‌پذیری محسوب می‌شوند. همین حساسیت باعث شده است چنین محیط‌هایی به ورود انواع آلینده‌های مختلف طبیعی و انسانی پاسخ‌های سریع شیمیایی و بیولوژیکی دهند (Perry and Taylor, 2007: 125).

آلودگی تالاب‌ها به این دلیل اهمیت دارد که علاوه بر آسیب‌زدن به اکوسیستم یک تالاب و از بین بردن موجودات زنده، سلامت مردم مجاور را نیز به خطر می‌اندازد (فتحی و همکاران، ۱۳۹۴: ۱۱۹). ورود کودهای شیمیایی، فاضلاب شهری، فاضلاب‌های خطرناک بیمارستانی و صنعتی به تالاب‌ها و همچنین دفع پسماند در مجاورت آنها، تالاب‌ها را آلوده می‌کند (کرمی و همکاران، ۱۳۹۵: ۴۶؛ صمدی، ۱۳۹۵: ۱۵۹).

منابع آب تالاب‌ها بیشتر دربردارنده ناخالصی‌های شیمیایی است. این ناخالصی‌ها ناشی از آلودگی هوا، آلودگی خاک یا مواد آلاینده ناشی از فعالیت‌های انسانی است که به صورت فضولات جامد و مایع در محیط تخلیه می‌شوند (عطاملکی و همکاران، ۱۳۹۴: ۶۷). آلاینده‌های شیمیایی با اشکال متفاوت که از زباله‌های صنعتی و فضولات جامد و مایع شهری حاصل شده است، منابع آب را پیش از پیش تهدید می‌کنند. حلال‌های شوینده، سیانید، فلزات سنگین، اسیدهای آلی و معدنی، مواد ازته، مواد سفیدکننده، رنگ‌ها، رنگدانه‌ها، سولفیدها، آمونیاک، مواد سمی و انواع گوناگون ترکیبات آلی کشنده موجودات زنده از آلاینده‌های موجود هستند (فلاح و همکاران، ۱۳۹۳: ۲۸)؛ علاوه بر فعالیت‌های انسانی مؤثر بر آلودگی تالاب‌ها، شرایط طبیعی حاکم بر حوضه تالاب نیز در ترکیب شیمیایی تالاب‌ها مؤثر است. سنگ‌های حوضه بالادست هر تالابی، ترکیب شیمیایی منابع آب و خاک آن را تعیین می‌کند (شيخ فخرالدینی و عباس‌نژاد، ۱۳۹۴: ۲۰۳). در اثر تجزیه سنگ‌های آذرین، عناصری چون سیلیس، پتاسیم، سدیم و آلومینیوم وارد آب‌ها می‌شود (خدابخش و همکاران، ۱۳۹۵: ۳۶۷). در اثر انحلال سنگ‌های آهکی ترکیباتی چون کلسیم، منیزیم و یون‌های بی‌کربنات به آب اضافه می‌شوند. طبقات گچی و نمکی با افزایش یون‌های سولفات و کلر در آب همراه هستند (شهبهاری و فیض‌نیا، ۱۳۹۰: ۹۳). از سویی تالاب‌های مرکزی ایران ازجمله تالاب میقان اراک بیشتر شورند و شوری آنها به دلیل دخالت‌های انسانی به سفره‌های آب زیرزمینی دشت‌های مجاور راه یافته است. این پدیده که متأثر از جبهه پیش‌روندۀ شوری در آبخوان‌ها نوعی آلودگی انسانی بوده است، در بیشتر آبخوان‌های ساحلی و مرکزی ایران دیده می‌شود (مظفری‌زاده و سجادی، ۱۳۹۲: ۶۹؛ عزیزی و همکاران، ۱۳۹۶: ۴۳۷).

پژوهش‌های زیادی در استفاده از روش‌های آماری چندمتغیره در تحلیل داده‌های شیمیایی و بیولوژیک تالاب‌ها انجام شده است.

استفاده از تحلیل‌های آماری نظیر تحلیل عاملی، تحلیل خوش‌های و تحلیل مؤلفه اصلی روی ترکیبات شیمیایی و بیولوژیک آب دریاچهٔ یولوبات<sup>۱</sup> ترکیه نشان داد عوامل میکروبی، مواد آلی و فیزیکوشیمیایی به ترتیب مهم ترین عوامل آلایندهٔ دریاچه‌اند که از فعالیت‌های انسانی حاشیهٔ دریاچه ناشی می‌شوند (Iscen et al., 2008: 269).

بساطنیا و همکاران (2018) با تحلیل‌های آماری خوش‌های و عاملی، عوامل بیولوژیک و شیمیایی رسوبات و آب تالاب گمیشان را بررسی و مشخص کردند عوامل بیولوژیک نظیر غلظت مواد آلی و اکسیژن محلول، مهم‌ترین عوامل انسان‌زاد تغییر در دریاچه‌اند.

با تحلیل عوامل فیزیکوشیمیایی و بیولوژیک دریاچهٔ کاجی تیتلان<sup>۲</sup> در مکریک به روش‌های تحلیل مؤلفه اصلی و تحلیل عاملی مشخص شد منابع انسانی نظیر کود حاصل از فعالیت‌های کشاورزی و پساب صنایع اطراف دریاچه، مهم‌ترین منابع آلایندهٔ نیترات، نیتریت و تغییر pH دریاچه‌اند (Gradilla-Hernández et al., 2020: 205).

تالاب میقان اراک، یکی از تالاب‌های ایران مرکزی و شور است. پرندگان محلی و مهاجر، حیوانات محلی و آبزیان از تالاب میقان بهره‌مند می‌شوند. مهم‌ترین منابع آبی تغذیه‌کنندهٔ تالاب را آب‌های زیرزمینی، فاضلاب‌های تصفیه‌شده شهر اراک و در ماههای مرطوب رواناب‌های سطحی تشکیل می‌دهند. منابع آلایندهٔ انسانی بزرگی چون شهرها (اراک و آشتیان)، روستاهای صنعتی (شهرک صنعتی اراک، خیرآباد و ایپک‌آباد) و قطب بزرگی از فعالیت‌های کشاورزی در بالادست و حاشیهٔ تالاب میقان اراک واقع شده است؛ همچنین منابع آلایندهٔ طبیعی نظیر سازنده‌های گچی و نمکی در بخش شمالی تالاب میقان گسترش دارند (Ghadimi and Ghomi, 2013: 54).

هدف پژوهش حاضر، شناسایی متغیرهای آلایندهٔ شیمیایی و بیولوژیک آب تالاب در دو کاربری حوضچه‌های مصنوعی (حفرشده توسط شرکت املاح ایران در بخش مرکزی جزیره برای دستیابی به مادهٔ معدنی سولفات سدیم) و کاربری دریاچه (در پیرامون جزیره مرکزی) با مقایسهٔ استاندارد شرب و شناسایی متغیرهای آلایندهٔ شیمیایی و بیولوژیک سایر کاربری‌های آب از جمله آب چاههای کشاورزی اطراف تالاب، فاضلاب تصفیه‌شده شهر اراک، پساب شرکت املاح و صنایع اطراف به مثابهٔ پتانسیل آلایندگی آب تالاب است؛ همچنین مهم‌ترین منابع آلایندهٔ طبیعی و انسانی مؤثر در آلایندگی تالاب به روش آماری چندمتغیرهٔ تحلیل عاملی تعیین شد.

## ۲. روش پژوهش

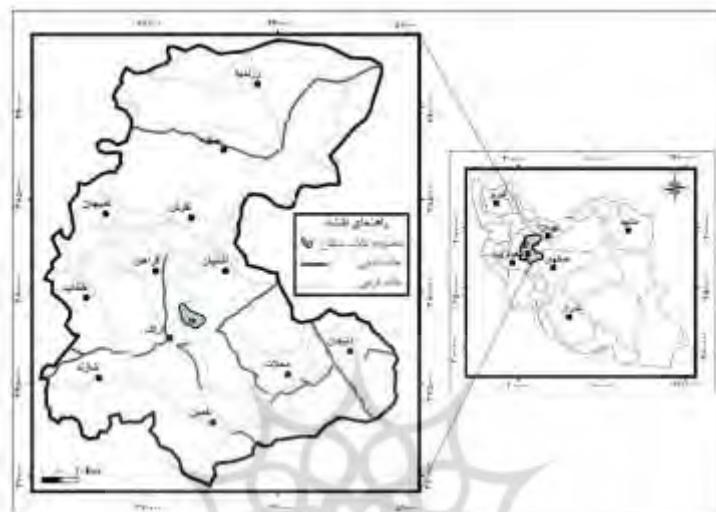
### ۱.۲. موقعیت جغرافیایی منطقه

حوضهٔ آبریز اراک با مساحت ۵۵۰۰ کیلومترمربع، حوضهٔ بسته است (شکل ۱). حدود ۶۲ درصد از مساحت حوضه را ارتفاعات، ۳۶ درصد را دشت و ۲ درصد (۱۱۰ کیلومترمربع) را تالاب میقان تشکیل داده است. بلندترین نقاط ارتفاعی حوضه به کوههای سفید خانی و نقرهٔ کمر با ارتفاع ۳۰۸۰ تا ۳۱۷۰ متر از سطح دریا در جنوب و شمال شرق و پست‌ترین نقطهٔ ارتفاعی حوضه به تالاب میقان با ارتفاع ۱۶۵۰ متر از سطح دریا مربوط است. درجه حرارت و

1. Uluabat

2. Cajititlan

بارندگی متوسط سالیانه حوضه اراک به ترتیب ۱۴ درجه سانتی گراد و ۳۵۰ میلی متر است. تالاب از دو بخش جزیره در مرکز و دریاچه در اطراف جزیره تشکیل شده که عمق متوسط آب در دریاچه نیم متر است. استخراج سولفات سدیم مربوط به شرکت املح ایران از جزیره انجام می‌شود. آبرفت تالاب میقان با ضخامتی بیش از ۳۰۰ متر روی سنگ‌های آهکی کرتاسه واقع شده است و دو گسل بزرگ تلخاب در شمال و گسل تبرته در جنوب، گودی بزرگ تالاب را از ارتفاعات جدا می‌کند (Ghadimi and Ghomi, 2013: 54).



شکل ۱. موقعیت جغرافیایی تالاب میقان اراک در ایران و استان مرکزی

Fig. 1. Geographical location of Arak Mighan playa in Iran and Markazi province

## ۲.۲. نمونه‌برداری و تجزیه

با توجه به وسعت و اهمیت کاربری‌ها، ۳۲ نمونه آب در پاییز سال ۱۳۹۷ از کاربری‌های مختلف (۶ نمونه جزیره، ۶ نمونه دریاچه، ۱۰ نمونه چاه کشاورزی، ۱ نمونه پساب شرکت املح، ۲ نمونه پساب صنایع، ۴ نمونه فاضلاب شهری اراک و ۳ نمونه تکراری برای تعیین نتایج آزمایش‌ها) از تالاب و منابع آبی اطراف آن با ظروف پلی‌اتیلن برداشت شد که با اسیدکلریدریک و سپس آب مقطر شسته شده‌اند. آب‌ها ضمن عبور از صافی و اسیدی شدن در pH کمتر از ۲ به آزمایشگاه معتمد در ریتم جنوب در اراک برای تجزیه‌های شیمیایی و بیولوژیک ارسال شد. هدایت الکتریکی به کمک دستگاه WTW Universal Conductivity Meter Multi Line P<sub>4</sub> Set تعیین COD، غلظت ترکیبات کلسیم، میزیم، پتاسیم، سدیم، کلر، سولفات، فلورور، نیترات و فسفات به روش کرموتوگرافی، بی‌کربنات به روش تیتراسیون، COD با دستگاه اندازه‌گیری BOD سنج مدل 600 و BOD به کمک دستگاه رومیزی HI83214 متر شد (بینای مطلق، ۱۳۸۹: ۱). دقت داده‌ها در حد یک میلی‌گرم در لیتر بود.

## ۳.۲. تعیین دقت نتایج آزمایش‌ها

هنگام ارسال نمونه‌ها به آزمایشگاه، ۱۰ درصد از کل نمونه‌ها به مثابه نمونه‌های تکراری با کدگذاری محروم‌انه انتخاب و به آزمایشگاه ارسال شد تا نتایج آزمایشگاه کنترل و از دقت نتایج اطمینان حاصل شود. برای تعیین دقت آزمایش از روش محاسباتی استفاده شد (رابطه ۱). در این روش خطای تجزیه نمونه‌های تکراری از رابطه ۱ محاسبه شد (حسنی پاک، ۱۳۶۲: ۵۵).

$$R \equiv \frac{2}{n} \left| \frac{|x_{10}x_2|}{x_{10}x_2} \right| \partial_{100} \quad (1)$$

در این رابطه،  $n$  تعداد نمونه‌های تکراری،  $x_i$  نتیجه تجزیه نمونه،  $x_{ij}$  نتیجه تجزیه نمونه تکراری و  $R$  خطای نسبی تجزیه است. حد دقت تعريف شده به انتظار شخص از آزمایشگاه و نوع دستگاه تجزیه بستگی داشته است که ۱۰ درصد انتخاب شد. از آنجا که نمونه‌های آب به آزمایشگاه معتمد در یتیم جنوب واقع در اراک ارسال شد، دقت آزمایشگاه نیز ارزیابی شد.

#### ۴.۲. روش تجزیه و تحلیل

مراحل داده‌پردازی شامل فایل‌بندی داده‌های خام آزمایشگاه، شناسایی و جایگزینی داده‌های سنسور، شناسایی مقادیر خارج از رده و مطالعات آماری تک متغیره و چندمتغیره است. نخستین گام در پردازش داده‌ها، واردکردن و فایل‌بندی داده‌های حاصل از آنالیز در رایانه و تهیه بانک اطلاعاتی مدنظر است. این عمل برای تمامی نمونه‌های منابع آبی به همراه مختصات و شماره نمونه برای هر عنصر و با استفاده از نرم‌افزارهای Statistica، Excel، RockWorks، EC، pH، ArcGIS انجام شد. از بین متغیرهای مختلف ترکیبات اصلی آب منطقه، ۱۲ متغیر شیمیایی و بیولوژیکی TDS، NO<sub>3</sub>، PO<sub>4</sub>، SO<sub>4</sub>، F، Cl، NH<sub>3</sub>، HCO<sub>3</sub>، COD و BOD میقان از قبیل آب شور، لب‌شور و شیرین در مقایسه با مقدار استاندارد بین‌المللی شرب<sup>۱</sup> (2017) تحلیل شد. لازم به توضیح است مبنای مقایسه براساس آزمون‌های آماری t استیودنت و p-value صورت گرفت. دلیل انتخاب استاندارد بین‌المللی شرب این بود که تالاب میقان، تالابی بین‌المللی است و هرساله پرندگان مهاجر زیادی دارد؛ از طرفی تالاب میقان سکونتگاه پرندگان بومی، مهاجر و حیواناتی است که در اطراف تالاب به ویژه در جبهه ورود آب فاضلاب تصفیه‌شده شهر اراک با آب شور تالاب زندگی می‌کنند. در تحلیل آمار چندمتغیره از روش‌های ماتریس همبستگی<sup>۲</sup> و تحلیل عاملی<sup>۳</sup> استفاده شد.

#### ۳. یافته‌های پژوهش

##### ۳.۱. غلظت ترکیبات اصلی

برای ارزیابی دقت داده‌ها از رابطه ۱ استفاده شد. از آنجایی که تکرار نمونه‌های MW6 نمونه MW31، نمونه MW15 نمونه MW32 و نمونه MW22 نمونه MW33 بوده است، بعضی از شاخص‌های مهم از جمله EC به روش محاسباتی آزموده شد (جدول ۱). با توجه به جدول ۱ بدینهی است خطای نسبی تجزیه (R%) کمتر از ۱۰ درصد باشد؛ بنابراین دقت داده‌ها تأیید شد.

1. WHO

2. Correlation matrix

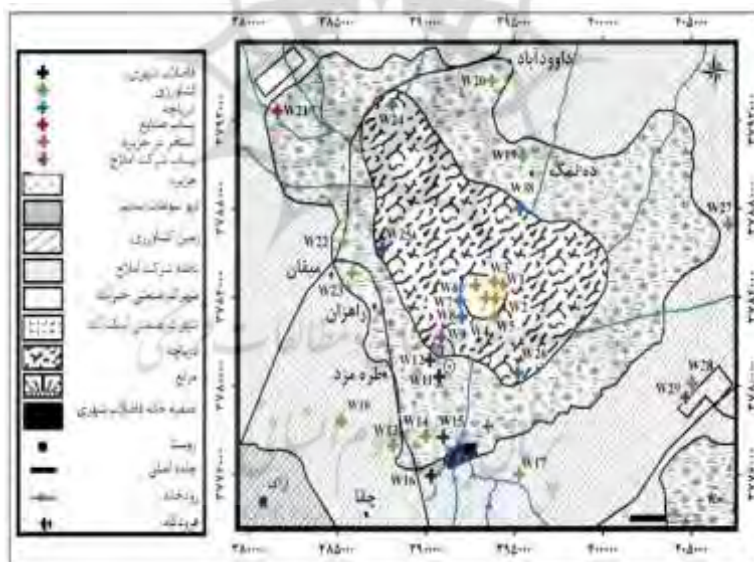
3. Factor analysis

جدول ۱. تعیین دقیقیت آزمایش‌های شیمیایی شرکت درّ یتیم اراک  
به میکروموس بر سانتی‌متر و سایر ترکیبات به میلی‌گرم در لیتر)

Table 1. Determining the accuracy of chemical analysis of Arak Dor Yatim Company

EC	Alkalinity	TDS	SO <sub>4</sub>	Cl	HCO <sub>3</sub>	کد آب
۱۴۰	۶۲۰	۹/۴	۵/۸۶	۶/۳۸	۴۴۰	MW6
۱/۱۹	۳۴۰	۷۹۸	۱۲۵	۳۵۵	۳۲۰	MW15
۹۰۱	۲۵۶	۶۰۳	۱۶۶	۳۵۵	۲۴۰	MW22
۱۴۵	۶۲۰	۹/۷	۵/۸۶	۶/۱	۴۴۰	MW31
۱/۱۹	۳۲۰	۷۹۷	۱۱۵	۳۵۵	۳۲۰	MW32
۹۰۳	۲۵۲	۶۰۵	۱۸۶	۳۵۵	۲۴۰	MW33
۰/۲۲	۰/۶۶	۰/۱۰	۳/۳۱	۰/۰۱	۰	R%

آب شور تالاب سه کاربری دارد؛ شامل استخراج‌های موجود در مرکز تالاب (نمونه‌های w1، w2، w3، w4، w5)، دریاچه میقان (w6، w7، w8، w9، w18، w24، w25، w26) و پساب شرکت املاح (w10). آب شیرین تالاب نیز سه کاربری دارد؛ شامل چاههای کشاورزی اطراف تالاب میقان (w11، w12، w13، w14، w15، w16، w17، w18، w19، w20، w21، w22، w23، w24، w25، w26)، دارد؛ شامل چاههای کشاورزی اطراف تالاب میقان (w10، w11، w12، w13، w14، w15، w16، w17، w18، w19، w20، w21، w22، w23، w24، w25، w26)، و پساب صنایع اطراف تالاب (w27، w28)؛ (شکل ۲).



شکل ۲. کاربری‌های مختلف آب در محدوده تالاب میقان

Fig. 2. Different uses of water in the area of Mighan playa

### ۱.۱.۳. کاربری آب شور

آب شور در تالاب میقان در سه بخش حوضچه‌های داخل جزیره (حوضچه‌های ایجادشده برای برداشت سولفات‌سدیم)، دریاچه (همه آب‌های اطراف جزیره مرکزی) و پساب شرکت املاح (دوغاب خروجی از کارخانه املاح به محل باطله داخل دریاچه میقان) تمرکز یافته است.

- حوضچه در جزیره میقان: از حوضچه‌های آب شور در بخش‌های مختلف جزیره شش نمونه برداشت (شکل ۳) و متغیرهای مختلف شیمیایی و بیولوژیکی (COD، BOD، NH<sub>3</sub>، HCO<sub>3</sub>، F، Cl، SO<sub>4</sub>، PO<sub>4</sub>، NO<sub>3</sub>، TDS، EC، pH) تعیین شد (جدول ۲). با مقایسه غلط تک‌تک متغیرها با غلظت استاندارد شرب WHO در جدول ۲ و با توجه به قدر مطلق مقدار  $t$  استیودنت محاسبه شده که بیش از مقدار بحرانی برابر با ۲/۰۱ بود و همچنین  $p$ -value کمتر از ۰/۰۵ در سطح اطمینان ۹۵ درصد، مقادیر تمامی متغیرهای شیمیایی و بیولوژیکی با مقدار استاندارد شرب متفاوت بود.



شکل ۳. حوضچه‌های ایجادشده ناشی از برداشت سولفات سدیم

Fig. 3. Ponds created by sodium sulfate extraction

جدول ۲. خلاصه آمار متغیرهای اصلی موجود در آب شور حوضچه‌های جزیره میقان  
به میکرومومس بر سانتی متر و سایر ترکیبات به میلی گرم در لیتر) (Ec)

Table 2. Summary of statistics of the main variables in the saline water of the ponds of Mighan island

p-value	t	WHO	کشیدگی	چولگی	انحراف معیار	حداکثر	حداقل	میانه	میانگین	متغیر
۰/۰۰	۱۸/۲۶	۷/۵	-۱/۹۹	-۰/۲۶	۰/۱۴	۸/۷	۸/۳۴	۸/۵	۸/۵	pH
۰/۰۰	۳۰/۵۴	۱/۸	-۲/۶۱	۰/۰۵	۱۲	۱۶۹	۱۴۰	۱۵۳	۱۵۴	EC
۰/۰۰	۲۸/۲۸	۱۰۰۰	-۲/۸۳	۰/۰۵	۸۸۰۶	۱۱۳۱۱۶	۹۳۷۳۱	۱۰۲۸۱۱	۱۰۲۶۹۴	TDS
۰/۰۰	۱۴/۴۱	۵۰	۱/۹۵	۱/۰۶	۵	۳۴	۲۱	۲۶	۲۶	NO <sub>3</sub>
۰/۰۰	۱۰/۱۱	۰/۲	۰/۰۱	۰/۰۱	۰/۱	۰/۱	۰/۱	۰/۱	۰/۱	PO <sub>4</sub>
۰/۰۰	۱۲/۴۵	۲۵۰	۱/۹۳	۰/۱۷	۱۱۱۷۳	۷۴۹۰۰	۴۰۲۰۰	۵۷۱۰۰	۵۷۰۸۳	SO <sub>4</sub>
۰/۰۰	۱۳/۱۰	۲۵۰	-۱/۳۹	۰/۴۵	۱۴۸۴۷	۱۰۱۷۴۱	۶۳۸۰۰	۷۸۳۴۴	۷۹۷۰۱	Cl
۰/۰۰	۸/۷۵	۱/۵	-۰/۳۰	۰/۸۵	۱/۶۳	۱۰/۰	۶/۰	۷/۰	۷/۳	F
۰/۰۰	-۷/۹۲	۵۰۰	-۰/۱۰	-۰/۳۱	۳۰	۴۴۰	۳۶۰	۴۰۰	۴۰۶	HCO <sub>3</sub>
۰/۰۲	-۳/۲۶	۰/۰۵	-۰/۰۱	-۰/۲۴	۰/۰۲	۰/۱	۰/۱	۰/۱	۰/۱	NH <sub>3</sub>
۰/۰۰	۱۶/۸۲	۳۰	۰/۰۵	۱/۶۴	۱۷۹	۱۶۰۰	۱۱۰۰	۱۲۲۰	۱۲۶۳	BOD
۰/۰۰	۸/۱۶	۶۰	۰/۰۳	-۰/۳۶	۸۱۰	۳۸۶۴	۱۴۹۱	۲۷۸۲	۲۷۶۲	COD

- دریاچه میقان: ۶ نمونه آب از دریاچه آب شور اطراف جزیره میقان برداشت و غلظت آنها با غلظت استاندارد شرب WHO مقایسه شد. با توجه به جدول ۲، قدر مطلق مقدار  $t$  استیوونت محاسبه شده متغیرهای  $\text{EC}$ ,  $\text{SO}_4$ ,  $\text{PO}_4$ ,  $\text{NO}_3$ ,  $\text{TDS}$ ,  $\text{Cl}$ ,  $\text{NH}_3$ ,  $\text{F}$ ,  $\text{BOD}$  و  $\text{COD}$  از مقدار بحرانی برابر با  $2/01$  بیشتر و مقدار  $p\text{-value}$  کمتر از  $0/05$  بوده است؛ بنابراین مقدار آنها بیشتر از استاندارد شرب و متفاوت با آن است. قدر مطلق مقدار  $t$  استیوونت محاسبه شده متغیرهای  $\text{pH}$  و  $\text{HCO}_3$  کمتر از مقدار بحرانی و  $p\text{-value}$  بیشتر از  $0/05$  حاکی از ترکیب مشابه آنها با استاندارد شرب است.

### جدول ۳. خلاصه آمار متغیرهای اصلی موجود در آب شور دریاچه اطراف جزیره میقان

(Ec) به میکروموس بر سانتی متر و سایر ترکیبات به میلی گرم در لیتر)

Table 3. Summary of statistics of the main variables in the saline water of the lake around Mighan island

p-value	t	کشیدگی	چولگی	انحراف معیار	حداکثر	حداقل	میانه	میانگین	متغیر
۰/۴۹	-۰/۰۷	-۰/۵۲	۰/۹۰	۰/۴	۸/۱	۶/۹۰	۷/۲	۷/۴	pH
۰/۰۱	۳/۶۴	۵/۴۶	۲/۳۱	۱۳۹	۴۹۰	۱۳۰	۱۵۸	۲۰۹	EC
۰/۰۱	۳/۶۴	۵/۴۷	۲/۳۱	۹۳۴۰۳	۲۲۸۳۰۰	۷۸۱۰۰	۱۰۵۸۸۵	۱۴۰۰۵۹	TDS
۰/۰۲	-۳/۵۱	-۳/۱۶	۰/۰۴	۱۵	۴۵	۱۵	۲۸	۲۹	$\text{NO}_3$
۰/۰۴	۲/۰۶	-۲/۸۳	۰/۱۶	۳/۷	۷/۹	۰/۱	۲/۸	۲/۳	$\text{PO}_4$
۰/۰۲	۲/۸۱	-۱/۰۳	۱/۰۰	۳۹۷۳۹۲	۸۷۵۰۰۰	۲۰۶۰۰	۵۹۶۰۰	۲۹۴۲۳۳	$\text{SO}_4$
۰/۰۳	۲/۸۷	-۲/۰۸	۰/۴۷	۷۶۷۸۹	۱۹۶۳۰۰	۲۳۱۰۰	۶۷۵۹۳	۹۰۲۳۰	Cl
۰/۰۳	۲/۹۸	-۰/۴۵	۱/۲۰	۷/۶	۱۵	۰/۱	۰/۱	۴/۲	F
۰/۷۷	۰/۳۱	۲/۸۸	۱/۶۰	۴۱۲	۱۳۲۰	۱۷۰	۴۴۰	۵۵۲	$\text{HCO}_3$
۰/۰۵	-۲/۰۹	۰/۰۳	۱/۳۷	۰/۱	۰/۱	۰/۱	۰/۱	۰/۱	$\text{NH}_3$
۰/۰۲	۲/۴۸	-۰/۶۲	۱/۱۷	۸۰۸	۱۸۲۰	۰/۱	۲۲	۵۱۹	BOD
۰/۰۱	۲/۰۱	-۱/۶۰	۱/۰۱	۱۸۰۲۲	۳۷۸۱	۰/۱	۳۷	۱۱۷۵	COD

- پساب شرکت املاح: با توجه به ماهیت شوراب بودن پساب خروجی شرکت املاح، بدیهی است مقدار EC (میکروموس بر سانتی متر)، TDS (۱۳۵۰۷ میلی گرم در لیتر)،  $\text{SO}_4$  (۱۰۰۰۰ میلی گرم در لیتر)، Cl (۲۱۰۰ میلی گرم در لیتر) و  $\text{HCO}_3$  (۱۶۴۰ میلی گرم در لیتر) در مقایسه با غلظت استاندارد شرب WHO (جدول ۲) زیاد است. از طرفی مقدار  $\text{NH}_3$  در مقایسه با غلظت استاندارد شرب کم و  $\text{NO}_3$  (۱۱ میلی گرم در لیتر)، BOD (۲۹ میلی گرم در لیتر)، COD (۴۳ میلی گرم در لیتر) در محدوده استاندارد شرب و pH پساب در حد شدیداً قلیایی (۱۱/۱۷) بود.

### ۲.۱.۳. آب شیرین

آب شیرین در محدوده تالاب میقان شامل چاههای کشاورزی (روستای طرمزد، مبارک آباد، سهل آباد، ابراهیم آباد، میقان، داود آباد و دهنگ)، آب ورودی و خروجی تصفیه خانه فاضلاب شهر اراک (کanal انتقال و محل دهانه به تالاب میقان)، پساب خروجی تصفیه خانه خیر آباد و پساب شهرک صنعتی ایبک آباد است.

- آب کشاورزی: ۱۰ نمونه از آب چاههای کشاورزی در اطراف تالاب میقان برداشت و متغیرهای مختلف شیمیایی و بیولوژیکی تعیین شد (جدول ۴). با توجه به جدول ۴، قدر مطلق مقدار  $t$  استیوونت محاسبه شده متغیرهای

$\text{NH}_3$ ،  $\text{F}$ ،  $\text{Cl}$ ،  $\text{PO}_4$ ،  $\text{NO}_3$ ،  $\text{pH}$  در سطح اطمینان ۹۵ درصد از مقدار بحرانی برابر با ۱/۸۱ بیشتر و مقدار p-value از ۰/۰۵ کمتر بوده است؛ بنابراین با مقدار استاندارد شرب متفاوت بودند؛ در حالی که این مقایسه نشان داد متغیرهای  $\text{EC}$ ،  $\text{SO}_4$ ،  $\text{TDS}$ ،  $\text{HCO}_3$ ،  $\text{BOD}$  و  $\text{COD}$  در حد استاندارد شرب بودند؛ همچنین این بررسی نشان داد چاههای حاشیه تلااب متأثر از لایه‌های شور بوده‌اند و با توجه به مقادیر بیش از استاندارد شرب متغیرهایی  $\text{EC}$ ،  $\text{TDS}$ ،  $\text{SO}_4$  و  $\text{Cl}$ ، آب عمده چاهها لب‌شور (آلودگی طبیعی) بوده است (چاههای اطراف روستاهای ابراهیم‌آباد، سهل‌آباد، میقان، دهنمک و داود‌آباد)؛ اما چاههای دور از تلااب عمدتاً شیرین بوده‌اند (نظیر چاه شرکت امللاح در نزدیکی کمربندی اراک و چاه ابتدای روستای مبارک‌آباد و چاه بین روستای میقان و راهزان). غلظت  $\text{BOD}$  و  $\text{COD}$  چاه مبارک‌آباد (w14) به دلیل نزدیکی به کanal تصفیه فاضلاب شهری به ترتیب با ۲۵۰ و ۱۷۴ میلی‌گرم در لیتر بیش از استاندارد شرب (به ترتیب ۶۰ و ۳۰ میلی‌گرم در لیتر) بوده و بنابراین چاه آلوده است.

#### جدول ۴. خلاصه آمار متغیرهای اصلی موجود در آب شیرین چاه‌های اطراف جزیره میقان

(Ec) به میکروموس بر سانتی متر و سایر ترکیبات به میلی گرم در لیتر)

Table 4. Summary of statistics of the main variables in the fresh water of wells around Mighan island

p-value	t	کشیدگی	چولگی	انحراف معیار	حداکثر	حداقل	میانه	میانگین	متغیر
۰/۰۴	-۲/۲۸	۰/۱۵	-۰/۹۴	۰/۴۰	۷/۶۵	۶/۴۲	۷/۲۴	۷/۲۱	pH
۰/۱۰	۱/۸۰	-۱/۶۶	۰/۰۹	۳/۶۸	۹/۸۵	۰/۰۸	۲/۰۱	۳/۹۲	EC
۰/۳۸	۰/۹۱	۱/۵۶	۱/۶۹	۲۳۲۵	۶۰۹۹	۴۳	۶۰۰	۱۶۶۹	TDS
۰/۰۰	-۵/۷۸	-۱/۰۹	۰/۰۲۷	۱۴/۸۲	۴۳	۶	۱۹	۲۳	$\text{NO}_3$
۰/۰۴	-۱/۹۰	۱/۴۰	۱/۷۸	۰/۱۹	۰/۰۴۴	۰/۰۱	۰/۰۱	۰/۰۹	$\text{PO}_4$
۰/۳۷	۰/۹۴	۰/۰۲۴	۱/۱۸	۲۷۳	۸۲۳	۷۲	۲۴۳	۳۳۲	$\text{SO}_4$
۰/۰۵	۱/۹۸	۱/۳۷	۱/۰۱	۱۱۰۲	۳۳۶۷	۱۷۷	۳۵۵	۹۳۹	Cl
۰/۰۰	-۶/۷۳	-۲/۲۸	۰/۰۴۸	۰/۰۲	۱/۰۰	۰/۰۱	۰/۰۱	۰/۴۰	F
۰/۹۲	-۰/۱۱	۲/۹۹	۰/۰۹۴	۴۷۴	۱۶۰۰	۲۰۰	۲۴۰	۴۸۴	$\text{HCO}_3$
۰/۰۰	-۲۰/۱۲	۰/۰۵۷	۱/۱۷	۰/۰۱	۰/۰۲	۰/۰۱	۰/۰۱	۰/۰۱	$\text{NH}_3$
۰/۴۹	-۰/۷۲	۱۰	۳/۱۶	۵۵	۱۷۴	۰/۰۱	۰/۰۱	۱۷/۴۰	BOD
۰/۱۹	-۱/۴۰	۱۰	۳/۱۶	۷۹	۲۵۰	۰/۰۱	۰/۰۱	۲۵	COD

- فاضلاب شهری: بیشتر آب خروجی تصفیه خانه فاضلاب شهری اراک به تلااب میقان وارد می‌شود. برای ارزیابی آلایندگی آب روی آب تلااب میقان، چند نمونه آب از قسمت‌های مختلف فاضلاب (فاضلاب ورودی شهر اراک به تصفیه خانه، خروجی آب تصفیه شده در داخل کanal و خروجی آب تصفیه شده به تلااب) برداشت شد (جدول ۵). قدر مطلق مقدار t استیویدنت محاسبه شده متغیرهای  $\text{pH}$ ،  $\text{Cl}$ ،  $\text{SO}_4$ ،  $\text{TDS}$ ،  $\text{HCO}_3$ ،  $\text{BOD}$  و  $\text{COD}$  در سطح اطمینان ۹۵ درصد از مقدار بحرانی برابر با ۲/۳۵ کمتر و مقدار p-value آنها بیشتر از ۰/۰۵ بوده است؛ بنابراین در حد استاندارد شرب است (جدول ۵)؛ اما قدر مطلق مقدار t محاسبه شده متغیرهای  $\text{NO}_3$ ،  $\text{NH}_3$  و  $\text{PO}_4$  از مقدار بحرانی بیشتر و مقدار p-value آنها از ۰/۰۵ کمتر بوده است؛ بنابراین با استاندارد شرب مغایر بودند.

جدول ۵. خلاصه آمار متغیرهای اصلی موجود در فاضلاب شهری  
به میکرومومس بر سانتی متر و سایر ترکیبات به میلی گرم در لیتر)

Table 5. Summary of statistics of the main variables in municipal wastewater

p-value	t	کشیدگی	چولگی	انحراف معیار	حداکثر	حداقل	میانه	میانگین	متغیر
۰/۰۹	۰/۰۸	۰/۲۵	-۰/۲۶	۰/۶۳	۸/۴۱	۷/۹۰	۷/۷۱	۷/۶۸	pH
۰/۸۴	۰/۲۱	۳/۹۹	۱/۹۹	۱/۵۰	۴/۲۲	۱/۱۹	۱/۲۲	۱/۹۶	EC
۰/۵۷	۰/۶۲	۳/۹۹	۱/۹۹	۱۰۰.۸	۲۸۲۷	۷۹۸	۸۱۷	۱۳۱۵	TDS
۰/۰۰	-۶/۶۸	۳/۷۲	۱/۹۱	۱۰	۳۱	۹	۱۲	۱۶	NO <sub>3</sub>
۰/۰۲	۳/۴۹	۳/۹۱	۱/۹۷	۶۲	۱۴۱	۱۲/۵	۱۷/۵۰	۴۷	PO <sub>4</sub>
۰/۱۵	۱/۸۹	۳/۸۴	۱/۹۰	۲۸۱	۶۸۷	۹۷	۱۴۱	۲۶۶	SO <sub>4</sub>
۰/۲۶	۱/۳۹	۴/۰۰	۲/۰۰	۵۳۱	۱۴۱۸	۳۵۵	۳۵۵	۶۲۰	Cl
-	-	۰/۰۱	۰/۰۱	۰/۰۱	۰/۰۱	۰/۰۱	۰/۰۱	۰/۰۱	F
۰/۷۷	۰/۳۱	۳/۱۳	۱/۷۷	۳۸۰	۱۱۲۰	۳۲۰	۴۰۰	۵۶۰	HCO <sub>3</sub>
۰/۰۰	-۹/۷۹	۱/۵۰	۰/۰۱	۰/۰۱	۰/۰۲	۰/۰۱	۰/۰۱	۰/۰۱	NH <sub>۳</sub>
۰/۲۹	۱/۲۹	۳/۳۱	۱/۷۴	۱۷۵	۴۱۰	۱۵	۹۱	۱۵۱	BOD
۰/۱۸	۱/۷۲	۳/۵۷	۱/۸۴	۲۷۷	۶۵۰	۴۱	۱۳۳	۲۳۹	COD

- شهرک صنعتی: دو نمونه آب از خروجی تصفیه خانه شهرک صنعتی خیرآباد (w21) و پساب شهرک صنعتی ایبکآباد در اطراف تالاب میقان برداشت شد (شکل ۴). قدر مطلق مقدار t استیودنت محاسبه شده متغیرهای EC، TDS، NO<sub>3</sub>، BOD و COD (به ترتیب ۱۰/۷۳، ۱۱/۷۲، ۱۱/۶۶، ۱۱/۶۶ و ۸/۹۸) بیش از مقدار بحرانی برابر با ۷/۳۱ در سطح اطمینان ۹۵ درصد بوده است؛ بنابراین با مقدار استاندارد شرب متفاوت بودند؛ در حالی که مقدار t استیودنت محاسبه شده متغیرهای pH، PO<sub>4</sub>، SO<sub>4</sub>، Cl، F و HCO<sub>3</sub> کمتر از مقدار بحرانی و در حد استاندارد شرب بود. در پساب شهرک صنعتی ایبکآباد تصفیه نشده، به دلیل وجود کارخانه الكلسازی، مقادیر متغیرهای COD، BOD و PO<sub>4</sub> به ترتیب ۱۴۹۰، ۱۷۵۰ و ۱۶/۶ میلی گرم در لیتر و بسیار زیاد بود (w21).



شکل ۴. پساب خروجی شهرک صنعتی ایبکآباد در مسیر جاده داودآباد

Fig. 4. The effluent of Aibakabad industrial town in the direction of Davoodabad road

### ۲.۳. ماتریس همبستگی

به منظور تعیین روابط متغیرها از ماتریس همبستگی استفاده شد (جدول ۶). ماتریس همبستگی در سطح اطمینان ۹۵ درصد و p-value برابر با  $0/05$  بررسی شد. متغیرهای EC، NO<sub>3</sub>، SO<sub>4</sub>، PO<sub>4</sub>، TDS، F، Cl، HCO<sub>3</sub> و NH<sub>3</sub> با توجه به p-value بیش از  $0/05$  در یک گروه قرار گرفته‌اند و متغیر pH در گروهی مجزا قرار گرفته است که با هیچ یک از متغیرهای دیگر همبستگی ندارد. براساس بررسی‌ها، متغیرهای هدایت الکتریکی (EC)، مواد محلول کل (TDS)، سولفات (SO<sub>4</sub>) و کلر (Cl) با یکدیگر همبستگی خیلی زیاد (ضریب همبستگی بیش از  $0/8$ ) و فلور (F) با آمونیاک (NH<sub>3</sub>) همبستگی زیاد (ضریب همبستگی بیش از  $0/7$ ) و فلور (F) با کلر (Cl) همبستگی زیاد (ضریب همبستگی بیش از  $0/7$ ) نشان دادند (جدول ۶).

جدول ۶. همبستگی متغیرهای شیمیایی آب در محدوده تالاب میقان

Table 6. Correlation of chemical variables of water in Mighan plauya

	pH	EC	TDS	NO <sub>3</sub>	PO <sub>4</sub>	SO <sub>4</sub>	Cl	F	HCO <sub>3</sub>	NH <sub>3</sub>
pH	1/00									
p-value	..									
EC	0/11	1/00								
p-value	0/54	..								
TDS	0/12	0/99	1/00							
p-value	0/53	0,00	..							
NO <sub>3</sub>	-0/18	0/37	0/37	1/00						
p-value	0/38	0/04	0/04	..						
PO <sub>4</sub>	0/07	-0/18	-0/18	0/04	1/00					
p-value	0/70	0/34	0/35	0/85	..					
SO <sub>4</sub>	0/29	0/89	0/88	0/45	-0/21	1/00				
p-value	0/62	0/04	0/04	0/02	0/57	..				
Cl	0/19	0/92	0/92	0/49	-0/19	0/97	1/00			
p-value	0/31	0/00	0/00	0/01	0/32	0/00	..			
F	0/35	0/45	0/45	0/38	-0/19	0/79	0/74	1/00		
p-value	0/06	0/01	0/01	0/04	0/32	0/00	0/00	..		
HCO <sub>3</sub>	0/21	-0/05	-0/05	0/42	0/25	0/05	0/07	0/12	1/00	
p-value	0/28	0/79	0/77	0/02	0/19	0/13	0/71	0/49	..	
NH <sub>3</sub>	0/11	0/22	0/22	0/31	-0/04	0/51	0/48	0/73	0/19	1/00
p-value	0/55	0/26	0/25	0/10	0/83	0/00	0/00	0/00	0/32	..

### ۲.۳. تحلیل عاملی

برای تعیین ارتباط ترکیبات شیمیایی و بررسی منشأ ترکیبات از تحلیل چندمتغیره استفاده شد. از آنجایی که غلظت COD و BOD در آب‌های سور اغراق‌آمیز بوده است، در تحلیل عاملی حذف شد (Hoguane, 2010: 310). در تحلیل عاملی از ده متغیر انتخابی، چهار عامل بیشترین نقش را در توزیع متغیرها در گام اول داشتند و حدود ۸۷/۵۶ درصد واریانس را توضیح دادند (جدول ۷). از طرفی عامل اول با واریانس ۴۸/۵۹ درصد با متغیرهایی چون EC،

SO<sub>4</sub> و Cl بیشترین تأثیر را در بین عوامل نشان داد. در عامل دوم، متغیرهای فسفات (PO<sub>4</sub>) و بیکربنات (HCO<sub>3</sub>)، در عامل سوم pH و در عامل چهارم فلورور (F) و آمونیاک (NH<sub>3</sub>) نقش اصلی را داشتند.

#### جدول ۷. بارهای عاملی گام اول متغیرهای شیمیایی آب در محدوده تالاب میقان

Table 7. Factor loads of the first step of chemical variables of water in the area of Mighan playa

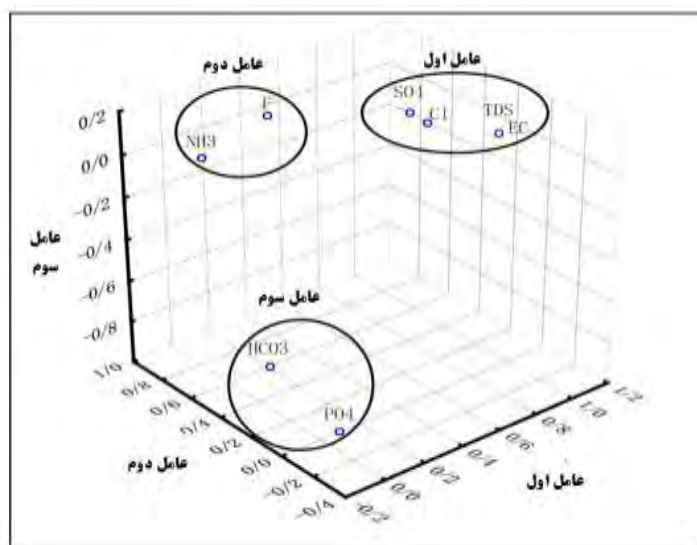
عامل چهار	عامل سه	عامل دو	عامل یک	متغیر
۰/۱۸	-۰/۹۰	۰/۱۷	۰/۱۳	pH
۰/۰۸	۰/۰۱	-۰/۰۶	۰/۹۸	EC
۰/۰۸	۰/۰۰	-۰/۰۶	۰/۹۸	TDS
۰/۳۶	۰/۰۴	۰/۴۹	۰/۴۱	NO <sub>3</sub>
-۰/۲۷	-۰/۱۶	۰/۷۱	-۰/۱۲	PO <sub>4</sub>
۰/۴۶	-۰/۱۲	-۰/۰۲	۰/۸۷	SO <sub>4</sub>
۰/۳۹	-۰/۰۲	۰/۰۱	۰/۹۰	Cl
۰/۸۳	-۰/۱۲	-۰/۰۱	۰/۴۲	F
۰/۲۶	۰/۰۱	۰/۸۱	-۰/۰۴	HCO <sub>3</sub>
۰/۸۹	۰/۰۰	۰/۰۶	۰/۱۳	NH <sub>3</sub>
۱۰/۵۹	۱۲/۲۰	۱۶/۱۶	۴۸/۵۹	درصد کل واریانس
۸۷/۵۶	۷۶/۹۶	۶۴/۷۶	۴۸/۵۹	درصد تجمعی واریانس

با توجه به اینکه سهم نیترات (NO<sub>3</sub>) در گام اول و pH در گام دوم کم بوده، این متغیرها در تحلیل عاملی حذف و گام سوم اجرا شد (جدول ۸). در گام سوم، سه عامل ۸۸/۱۹ درصد واریانس را توضیح داد. عامل اول بیشترین و HCO<sub>3</sub> با ۵۶/۹۶ درصد و شامل EC، TDS، SO<sub>4</sub>، Cl، عامل دوم شامل F و NH<sub>3</sub> و عامل سوم شامل PO<sub>4</sub> و برابر با ۵۶/۹۶ بود (شکل ۵). پنهنه های هریک از عوامل در شکل ۶ نشان داد تمرکز عامل اول و دوم در محدوده تالاب میقان (جزیره و دریاچه) بوده و عامل سوم برخلاف دو عامل اول و دوم، بیشترین تمرکز را در حواشی تالاب (در خاک های مراع و لجن های فاضلاب شهری) داشته است.

#### جدول ۸. بارهای عاملی گام سوم متغیرهای شیمیایی آب در محدوده تالاب میقان

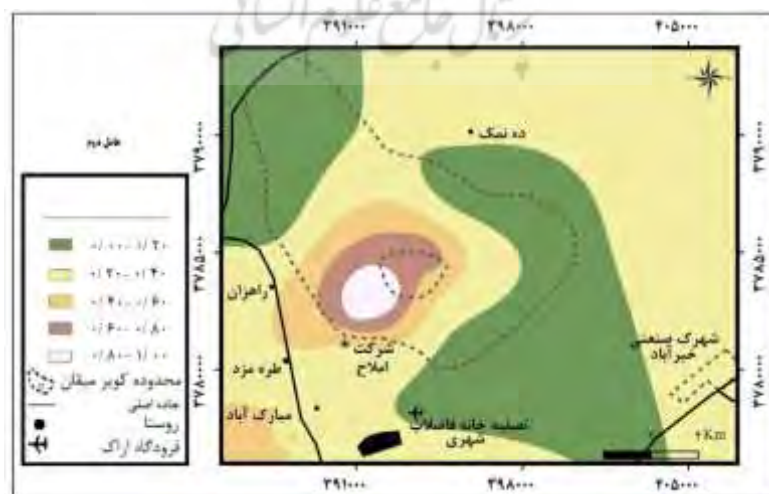
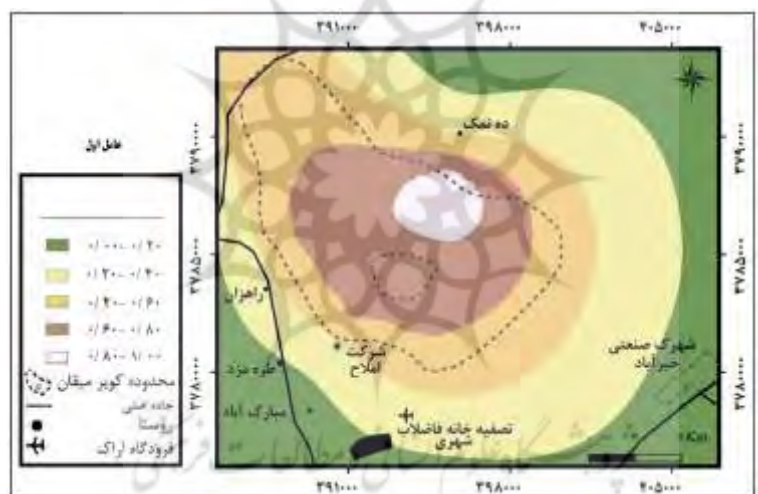
Table 8. Factor loads of the third step of chemical variables of water in the area of Mighan playa

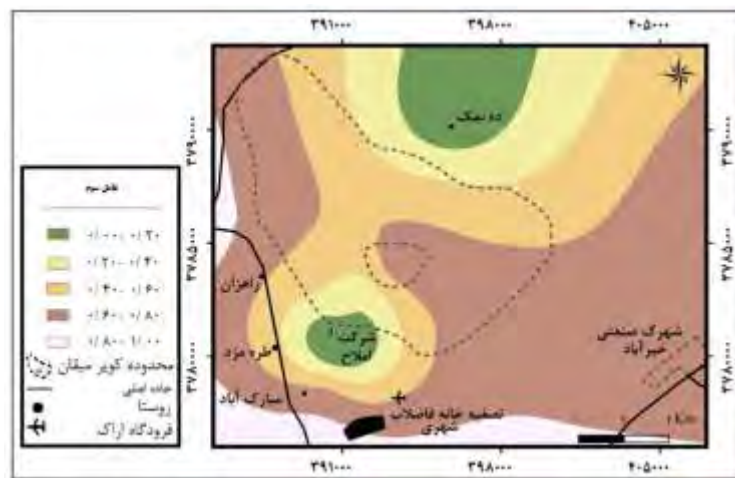
عامل سه	عامل دو	عامل یک	متغیر
۰/۰۸	۰/۰۸	۰/۹۹	EC
۰/۰۸	۰/۰۸	۰/۹۹	TDS
-۰/۰۲	-۰/۰۲	-۰/۰۸	PO <sub>4</sub>
۰/۰۶	۰/۴۸	۰/۸۶	SO <sub>4</sub>
۰/۰۳	۰/۴۱	۰/۸۹	Cl
۰/۰۵	۰/۸۴	۰/۴۲	F
-۰/۰۶	۰/۲۸	-۰/۰۳	HCO <sub>3</sub>
-۰/۰۸	۰/۹۱	۰/۱۲	NH <sub>3</sub>
۱۳/۳۲	۱۷/۸۹	۵۶/۹۶	درصد کل واریانس
۸۸/۱۹	۷۴/۸۶	۵۶/۹۶	درصد تجمعی واریانس



شکل ۵. ارتباط متغیرهای شیمیایی آب در محدوده تالاب میقان

Fig. 5. Relation of chemical variables of water in the area of Mighan playa





شکل ۶. پهنه‌بندی عوامل در تحلیل عاملی در آب محدوده تالاب میقان

Fig. 6. Zoning of factors in factor analysis in the water of Mighan playa

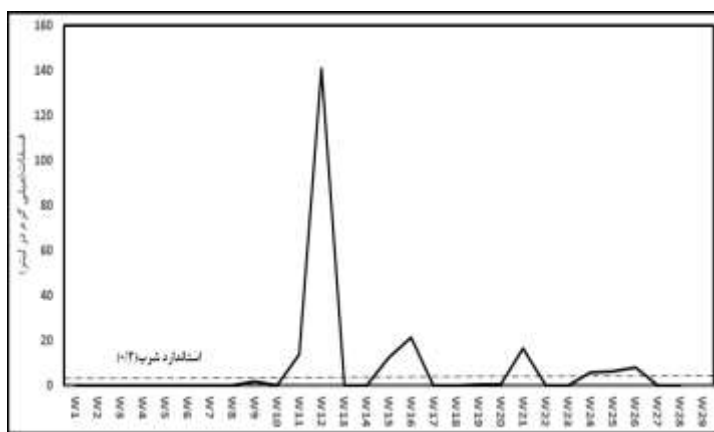
آب در تالاب میقان اراک در دو کاربری حوضچه‌ها (حوضچه‌های حاصل از برداشت مادهٔ معنی سولفات‌سدیم در بخش جزیره مرکزی) و دریاچه (اطراف جزیره مرکزی) متصرک شده است. کاربری‌هایی نظیر پساب شرکت املاح معنی، فاضلاب تصفیه شده شهری اراک، پساب صنایع و چاههای کشاورزی، منابع بالقوه آلینده برای آب تالاب میقان محسوب می‌شوند. زیادبودن غلظت ترکیبات شیمیایی  $\text{EC}$ ،  $\text{TDS}$ ،  $\text{Cl}$  و  $\text{SO}_4$  از حد استاندارد شرب، ماهیت شورابه‌بودن آب را در تالاب میقان نشان داد. بررسی منشأ شوری آب میقان نشان داد متغیرهای شورکننده از قبیل آنیون‌های  $\text{SO}_4$  و  $\text{Cl}$  و همچنین کاتیون‌های  $\text{Na}$  و  $\text{K}$  به سنگ‌های گچی و نمکی ارتفاعات شمالی (منطقه آشتیان) حوضه میقان مربوط است (عبدی و رحیم‌پور، ۱۳۹۱: ۹۶).

نخعی و همکاران (۱۳۹۰) با مطالعه آب‌های زیرزمینی دشت تربت حیدریه نشان دادند انحلال کانی‌های تبخیری سنگ‌های ارتفاعات سبب شده است آب‌های زیرزمینی دشت از تیپ کلروره سدیک و سولفات‌سدیم باشند. بررسی‌های مهاجرانی و امینی (۱۳۷۹) در آب‌های زیرزمینی اطراف تالاب میقان نشان داد آب‌های شمالی ورودی به تالاب از تیپ  $\text{Na}-\text{Cl}-\text{SO}_4$  و آب‌های جنوبی از تیپ  $\text{Ca}-\text{HCO}_3$  بوده‌اند؛ همچنین آنها مشخص کردند مخلوط‌شدگی آب‌های سطحی و آب‌های زیرزمینی با آب تالاب میقان، تیپ  $\text{Ca}-\text{Na}-\text{HCO}_3-\text{SO}_4$  را سبب شده است.

بررسی‌های الهدادی و قدیمی (۱۳۹۲) نشان داد پساب شرکت املاح ایران (برداشت سولفات‌سدیم از حوضچه‌های جزیره مرکزی)  $\text{EC}$ ،  $\text{TDS}$ ،  $\text{Cl}$  و  $\text{SO}_4$  زیاد داشت. حدود ۶۰ درصد از آب چاههای اطراف تالاب که به مصرف کشاورزی رسید، با توجه به  $\text{EC}$ ،  $\text{TDS}$ ،  $\text{Cl}$  و  $\text{SO}_4$  زیاد تقریباً شور بودند. به دلیل خشکسالی‌های اخیر، برداشت بی‌رویه آب‌های زیرزمینی و حفر چاههای غیرمجاز، سطح آب زیرزمینی بسیاری از دشت‌ها کاهش یافته است (جعفری و بخشندۀ‌مهر، ۱۳۹۱: ۱۸۳؛ برای نمونه افزایش برداشت بی‌رویه از سفره‌های آب زیرزمینی دشت رشکان و کاهش ذخایر این سفره‌ها و درنتیجه افزایش تمرکز و غلظت یون‌ها وجود واحدهای تبخیری باعث شوری آب‌ها شده است (حق‌پرست و همکاران، ۱۳۹۳: ۶۵).

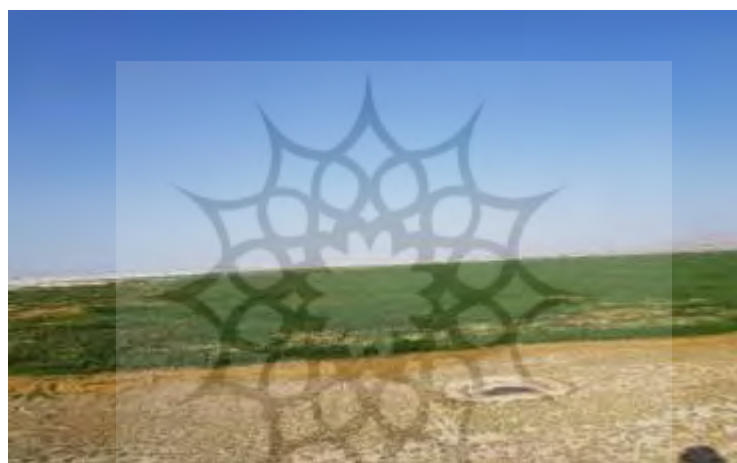
همخوانی  $\text{SO}_4^{2-}$  و  $\text{Cl}^-$  آب‌های کشاورزی تقریباً شور با  $\text{SO}_4^{2-}$  و آب تالاب میقان حاکی از شوری آب چاههای منطقه از آب تالاب بود. روند مشابهی از شورشدن آب زیرزمینی در دشت شبستر حاکی از نفوذ آب شور دریاچه ارومیه به سفره آب زیرزمینی دشت مجاور بود (اصغری مقدم و محمدی، ۱۳۸۲: ۶۹). با توجه به عامل اول از تحلیل عاملی و مؤثردانستن متغیرهای EC، TDS،  $\text{Cl}^-$  و  $\text{SO}_4^{2-}$  همچنین افزایش این عامل در نقشه پنهانی به سمت تالاب میقان، بدیهی است شوری آب تالاب و پساب شرکت املاح طبیعی بوده است؛ در حالی که شوری آب چاههای اطراف تالاب میقان دلیلی بر فعالیت انسانی است.

در نقشه پنهانی، عامل دوم با متغیرهای  $\text{F}^-$  و  $\text{NH}_3$  در محدوده آب تالاب (جزیره و دریاچه) میقان تمرکز داشت؛ همچنین با توجه به سهم زیاد  $\text{NH}_3$  (۹۱/۰) نسبت به  $\text{F}^-$  (۸۴/۰) در تحلیل عاملی، افزایش  $\text{NH}_3$  عامل انسانی و  $\text{F}^-$  عامل طبیعی داشته است. بررسی‌های قدیمی و همکاران (2012) در آب‌های زیرزمینی اطراف تالاب میقان نشان داد  $\text{F}^-$  و  $\text{Na}^+$  در یک گروه قرار گرفته‌اند. از طرفی  $\text{F}^-$  و  $\text{Na}^+$  در آب‌هایی دیده شده است که زیر هجوم آب شور تالاب میقان بوده‌اند (Ghadimi and Ghomi, 2012: 31). بنابراین  $\text{F}^-$  موجود در آب تالاب منشأ طبیعی داشته است. حضور  $\text{F}^-$  در بعضی از آب چاههای کشاورزی حاکی از نفوذ آب شور تالاب میقان در آنها بود. از طرفی  $\text{NH}_3$  فقط در تعداد کمی از نمونه‌های آب تالاب میقان (حوضچه‌ها و دریاچه) دیده شده که از حد استاندارد شرب بیشتر است. غلظت  $\text{NH}_3$  فاضلاب شهری تصفیه شده و پساب صنایع کم و پساب شرکت املاح فاقد آن بود. منشأ  $\text{NH}_3$  ترکیبات ازت دار آلی و باکتری‌ها هستند (مقیمی و امین، ۱۳۹۴: ۳۷). آمونیاک ( $\text{NH}_3$ ) ترکیبی بسیار خطرناک است؛ زیرا موجب اختلال در تنفس آبزیان می‌شود. این ترکیب به راحتی داخل سلول‌ها نفوذ می‌کند و موجب افزایش pH و اختلال در عوامل حیاتی می‌شود. یون آمونیوم منشأ نیتروژن برای گیاهان آبی است و موجب افزایش رشد جلبک‌ها می‌شود (همان). آمونیاک موجود در آب تالاب میقان ناشی از افزایش غلظت آن با ورود فاضلاب شهری به تالاب است. در عامل سوم از تحلیل عاملی،  $\text{PO}_4^{3-}$  و  $\text{HCO}_3^-$  شرکت دارند که در آن نقش  $\text{PO}_4^{3-}$  بارزتر بوده است. آب دریاچه میقان، فاضلاب شهری و پساب صنایع به مراتب از حد استاندارد شرب بیشتر بود (شکل ۷). فسفات از فاضلاب‌های خانگی (حاوی پاک‌کننده‌های سنتیک) یا پساب‌های کشاورزی یا فاضلاب‌های صنعتی به آب‌های سطحی، زیرزمینی و تالاب‌ها وارد شده است (فلاح و همکاران، ۱۳۹۳: ۲۸). فسفر، یکی از عناصر ضروری برای رشد جلبک‌هاست (صمدی، ۱۳۹۵: ۱۵۹). بیش از ۷۰ درصد ترکیبات فسفر موجود در فاضلاب‌ها به دلیل استفاده از شوینده‌هاست. نگرانی‌های کوتی محیط‌زیست بیشتر درباره سازنده‌های مواد پاک‌کننده بوده است؛ زیرا ماده اصلی در پاک‌کننده‌ها، سدیم تری پلی فسفات ( $\text{Na}_5\text{P}_3\text{O}_{10}$ ) است. این ماده مشکل تجزیه زیستی نداشته است؛ زیرا یون  $\text{P}_3\text{O}_{10}^{3-}$  متأثر از واکنش هیدرولیز به طور آهسته در محیط به ارتقای فسفات‌ها تبدیل می‌شود. این ماده غیرسمی است، ولی در فرایند اتروفیکاسیون نقش دارد (Adesuyi et al., 2015: 14). گزارش شرکت آب و فاضلاب شهری حاکی است ۲۰۰ لیتر در ثانیه آب تصفیه شده در فصول خشک و ۸۰۰ لیتر در ثانیه در فصول مرطوب (تصفیه و تصفیه نشده) از فاضلاب شهری به تالاب میقان وارد می‌شود. از آنجایی که غلظت  $\text{PO}_4^{3-}$  در فاضلاب تصفیه شده بسیار زیاد بوده، فاضلاب منشأ آلودگی انسانی در تالاب است. از طرفی تمرکز زیاد  $\text{PO}_4^{3-}$  در آب ورودی به تالاب سبب رشد انبوهی از گیاهان در منطقه شده است (شکل ۸).



شکل ۷. غلظت فسفات در آب‌های تالاب میقان (غلظت زیاد به فاضلاب تصفیه شده شهری اراک مربوط است)

Fig. 7. Concentration of phosphate in the waters of Mighan playa (high concentration is related to the treated wastewater of Arak)



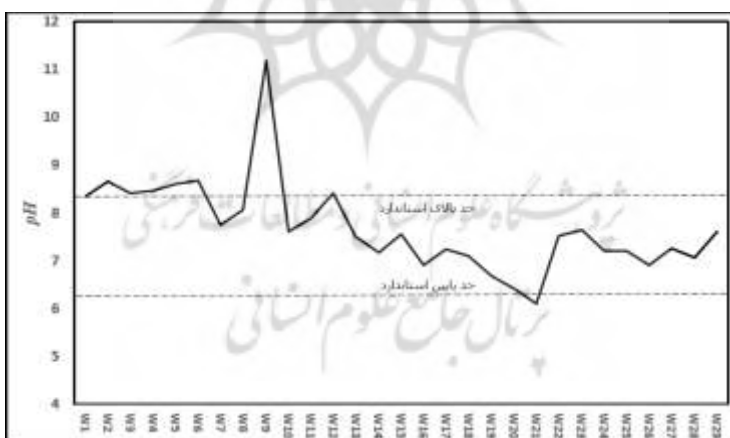
شکل ۸. رشد انبوه گیاهان در جبهه ورود فاضلاب تصفیه شده شهری به تالاب میقان

Fig. 8. Mass growth of plants in front of the treated municipal wastewater into the Mighan playa

غلظت یون بی‌کربنات ( $\text{HCO}_3$ ) در ترکیب آب دریاچه تالاب میقان و بعضی از چاههای بخش جنوبی تالاب میقان زیاد بوده است؛ در حالی که غلظت آن در سایر آب‌ها از حد استاندارد کمتر بوده است. بی‌کربنات حاکی از وجود سنگ‌های آهکی است. در اثر انحلال سنگ‌های آهکی و دولومیتی، ترکیبات بی‌کربنات حاصل شده که به آب‌های سطحی و زیرزمینی هدایت شده است (شيخ فخرالدینی و عباس‌نژاد، ۱۳۹۴؛ ۲۰۳؛ خدابخش و همکاران، ۱۳۹۵؛ ۳۶۷). بخش جنوبی تالاب میقان را سنگ‌های آهکی و دولومیتی کرتاسه تشکیل داده که مهم‌ترین منشاء بی‌کربنات آب تالاب میقان و چاههای منطقه بوده‌اند (Ghadimi and Ghomi, 2013: 54). زیادبودن یون بی‌کربنات نوعی آلودگی طبیعی است که در کنترل انسان نیست.

BOD میزان مصرف اکسیژن در داخل آب با ارگانیسم‌های دارند. اگر BOD کم باشد، آب پاک است و ارگانیسم ندارد یا آنکه ارگانیسم‌های داخل آب مرده‌اند و نیازی به مصرف اکسیژن ندارند. اگر BOD آبی یک میلی‌گرم در لیتر باشد، آب تقریباً خالص است. آب با BOD تا ۵ میلی‌گرم در لیتر نسبتاً خالص فرض می‌شود؛ اما اگر مقدار BOD از

۲۰ میلی گرم در لیتر تجاوز کند، سلامت عمومی به خطر می‌افتد (محرم‌نژاد، ۱۳۷۸: ۱۵۸)؛ اما COD، یکی از مهم‌ترین شاخص‌های سنجش آلودگی فاضلاب است. آلودگی فاضلاب ناشی از مواد خارجی است که به آب وارد و به صورت معلق یا محلول باعث آلودگی آن و تولید فاضلاب شده‌اند. بدیهی است هرچه مقدار COD در فاضلاب بیشتر باشد، بار آلودگی آن نیز بیشتر خواهد بود (همان). از آنجایی که BOD موجود در آب به فعالیت‌های بیولوژیکی بستگی دارد، هرگونه مانعی در رشد میکروارگانیسم‌ها باعث تغییرات ناگهانی BOD می‌شود. از جمله این موانع مقدار کلر، قلیایی بودن، اسیدیته، اسیدهای معدنی و فلزات سنگین است (عظاملکی و همکاران، ۱۳۹۴: ۶۷)؛ همچنین بررسی‌ها نشان داد در آب‌های سور با غلظت کلر بیش از ۳۵۰۰۰ میلی گرم در لیتر، حتی اگر مواد آلی به مقدار کم هم وجود داشته باشد، مقدار COD، BOD اغراق‌آمیز است (Hoguane, 2010: 346). آب تالاب میقان (حوالی ۳۵۰۰۰ میلی گرم در لیتر داشته، COD، BOD در آب تالاب معیار مناسب آلودگی آب تالاب میقان CI بیش از ۳۵۰۰۰ میلی گرم در لیتر نبوده است. از طرفی زیادبودن COD، BOD، پساب شهرک صنعتی ایک‌آباد به دلیل کارخانه الكلسازی در بیولوژیک نبوده است. در این زمینه سازمان محیط‌زیست استان مرکزی اخطارهای متعددی به کارخانه مدنظر برای تصفیه پساب آن است؛ در این زمینه سازمان املاح قلیایی بود. pH نمونه‌های آب (شوراب) جزیره میقان ( $w_1$ ) تا  $pH$  آب تالاب میقان و پساب شرکت املاح قلیایی بود.  $pH$  حدود ۱۱/۱۷ در نمونه آب ( $w_9$ ) متعلق به پساب شرکت املاح بود. کمی بیشتر از ۸/۵ بود (شکل ۹).  $pH$  به دلیل خروج سولفات سدیم توسط شرکت املاح از فرایند بوده است؛ بنابراین غلظت سایر املاح از زیادبودن  $pH$  به دلیل خروج سولفات سدیم توسط شرکت املاح از فرایند بوده است؛ بنابراین غلظت سایر املاح از قبیا، کلرید سدیم و درنتیجه اسیدیته پساب افزایش یافته است (Pisarska et al., 2017: 54).



شکل ۹. pH آب‌های محدوده تالاب میقان

Fig. 9. pH of the waters of Mighan playa

٤. نتیجہ گیری

برای تعیین آلینده‌های طبیعی و انسانی مؤثر بر آب تالاب میقان، ارزیابی متغیرهای شیمیایی و بیولوژیک آب در کاربری‌های مختلف مدنظر قرار گرفت. فاضلاب شهری تصفیه شده اراک، پساب شرکت املاح معدنی و صنایع و همچنین آب‌های زیرزمینی اطراف، مهم‌ترین منابع آلینده انسانی بوده‌اند که پتانسیل آلوده‌کنندگی آب تالاب را داشته‌اند. با توجه به اینکه آب‌های زیرزمینی در پایین دست اراضی کشاورزی و صنایع بزرگ قرار گرفته، هیچ‌گونه آلینده‌های شیمیایی و

بیولوژیک حاصل از پساب کشاورزی و صنایع در آب تالاب میقان دیده نشده است. از طرفی با ورود پساب شرکت املاح به تالاب، افزایش محلی pH صورت گرفته که در مقایسه با آب کل تالاب بسیار ناچیز بوده است. فاضلاب شهری تصفیه شده اراک، مهم‌ترین منبع آب ورودی به تالاب بوده که فسفات و آمونیاک را به آب تالاب وارد کرده است. ورود ترکیبات اخیر به تالاب با رشد گیاهان و پوشش جنگلی همراه بوده که سکونتگاه پرندگان مهاجر است؛ بنابراین آب تالاب میقان بدون آلودگی شیمیایی و بیولوژیک بوده و جبهه پیش‌روندۀ آب تالاب سبب شورشدن آب‌های زیرزمینی شیرین اطراف شده است. این پدیده ناشی از افت سطح آب زیرزمینی منطقه با دخالت انسان بوده است؛ بنابراین باید اقدامات اساسی در زمینه بالآمدن سطح آب زیرزمینی طی عملیات آبخوانداری در دشت‌های اطراف تالاب و کنترل در برداشت آب چاهها و حذف چاههای غیرمجاز صورت گیرد.

### تشکر و قدردانی

مقاله از طرح پژوهشی «ارزیابی ژئوشیمیایی زیست‌محیطی منابع آلینده آب و خاک در منطقه کویر میقان اراک به منظور تعیین ضریب تأثیر فعالیت‌های زیست‌محیطی معدنی نمک سولفات سدیم شرکت معدنی املاح ایران» استخراج شده است؛ بنابراین نویسنده لازم می‌داند از معاونت پژوهشی دانشگاه صنعتی اراک، حمایت‌های چندجانبه سازمان صمت استان مرکزی، سازمان محیط زیست استان مرکزی، واحد تبصرۀ ۱۰ حقوق دولتی وزارت صمت و به‌ویژه شرکت املاح ایران (واحد اراک) تشکر و قدردانی کند.

### منابع

- اصغری مقدم، اصغر، محمدی، عباس، (۱۳۸۲). علل شوری سفره‌های آب زیرزمینی دشت شیستر، نشریه دانش کشاورزی، دورۀ ۱۳، شمارۀ ۳، صص ۶۹-۷۸.
- الهادی، مونا، قدیمی، فریدون، (۱۳۹۲). بررسی اثرات محیط زیستی معدن سولفات سدیم بر تالاب میقان، سی‌ودومن گردھمایی و نخستین کنگره بین‌المللی تخصصی علوم زمین، تهران، سازمان زمین‌شناسی کشور.
- بینای مطلق، پروین، (۱۳۸۹). دستورالعمل و روش‌های اندازه‌گیری عوامل فیزیکوشیمیایی و مواد شیمیایی معدنی سمی در آب آشامیدنی، وزارت بهداشت، درمان و آموزش پزشکی، معاونت بهداشت، مرکز سلامت محیط و کار.
- جعفری، رضا، بخشندۀ مهر، لیلا، (۱۳۹۱). بررسی تغییرات مکانی شوری و قلاییت آب‌های زیرزمینی استان اصفهان با استفاده از زمین آمار، مجلۀ علوم و فنون کشاورزی و منابع طبیعی، علوم آب و خاک، دورۀ ۱۸، شمارۀ ۶۸، صص ۱۸۳-۱۹۵.
- حسنی پاک، علی‌اصغر، (۱۳۶۲). اصول اکتشافات ژئوشیمیایی، چاپ ۹، تهران، مرکز نشر دانشگاهی.
- حق‌پرست، مریم، پیرخراطی، حسین، محمدی، عباس، (۱۳۹۳). بررسی منشأ شوری آب‌های زیرزمینی دشت رشکان، دومین همایش ملی و تخصصی پژوهش‌های محیط‌زیست ایران، همدان، دانشگاه شهید مفتح.

خدابخش، سعید، رفیعی، بهروز، افشارنیا، مینا، کبیری، شیما، اخلاص مند، رضا، (۱۳۹۵). *شناسایی خاستگاه مواد محلول آب رودخانه خرود قزوین با روش آماری*, فصلنامه کواترنری, دوره ۲، شماره ۴، صص ۳۶۷-۳۷۸.

شهبازی، رضا، فیض‌نیا، سادات، (۱۳۹۰). *تأثیر سازنده‌های زمین‌شناسی بر کاهش کیفیت آب‌های سطحی و زیرزمینی در حوضه آبخیز کویر مرکزی*, پژوهش‌های فرسایش محیطی، شماره ۱، صص ۹۳-۱۰۴.

شيخ فخرالدینی، سارا، عباس‌نژاد، احمد، (۱۳۹۴). *بررسی تأثیر هوازدگی بر هیدروژئوشیمی رودخانه‌های زهکش کننده سنگ‌های آتش‌شانی (رودخانه بیدخوان بردسیر کرمان)*, نشریه جغرافیا و برنامه‌ریزی، دوره ۱۹، شماره ۵۳، صص ۲۰۳-۲۲۶.

صمدی، جواد، (۱۳۹۵). *بررسی تأثیر مکانی زمانی و کیفی پساب‌های کاربری اراضی بر آلودگی تالاب چفاخور*, مجله تحقیقات منابع آب ایران، دوره ۱۱، شماره ۳، صص ۱۵۹-۱۷۱.

عبدی‌نی، علی، میرزا جانی، علیرضا، فلاحتی، مریم، (۱۳۹۶). *وضعیت فیزیکوشیمیایی آب و سطح تغذیه‌گرایی تالاب انزلی*, مجله علمی شیلات ایران، سال ۲۶، شماره ۶، صص ۱۱۳-۱۲۴.

عبدی، لیلا، رحیم‌پور بناب، حسین، (۱۳۹۱). *هیدرولوژی و هیدروژئیمی پلایای میقان در ارتباط با سازنده‌های زمین‌شناسی منطقه*, شانزدهمین همایش انجمن زمین‌شناسی ایران، شیراز، دانشگاه شیراز.

عزیزی، فرحناز، اصغری مقدم، اصغر، نظامی، امیرحسین، (۱۳۹۶). *ارزیابی شوری آب زیرزمینی و تبیین منشأ یون‌ها در آبخوان ساحلی دشت ملکان با استفاده از نسبت‌های یونی*, مجله محیط‌شناسی، دوره ۴۳، شماره ۳، صص ۴۳۷-۴۵۴.

عطاملکی، علی، صادقی، شهرام، دولتی، محمد، غلامی، میترا، قربان‌پور، رضا، (۱۳۹۴). *اندازه‌گیری و پایش مواد آلی و نوترينت‌ها در طول رودخانه چناران بجنورد*, مجله ارتقای ایمنی و پیشگیری مصدومیت‌ها، دوره ۳، شماره ۱، صص ۶۷-۷۴.

فتحی، پرمان، ابراهیمی، عیسی، اسماعیلی، علیرضا، (۱۳۹۴). *ارزیابی کیفی آب تالاب چفاخور با استفاده از شاخص WQS*, فصلنامه محیط زیست جانوری، دوره ۷، شماره ۳، صص ۱۱۹-۱۲۸.

فللاح، مریم، فاخران اصفهانی، سیما، پیرعلی زفره‌ای، احمد‌رضا، فرهادیان، امیدوار، (۱۳۹۳). *پایش تغییرات مقادیر محیط‌زیست*, کرمان، دانشگاه شهید باهنر کرمان.

کرمی، غلامحسین، جعفری، هادی، قناعتیان، حامد، (۱۳۹۵). *آلودگی منابع آب زیرزمینی در محدوده زمین‌های کشاورزی دشت مجن استان سمنان*, مجله زمین‌شناسی کاربردی پیشرفته، دوره ۶، شماره ۲۱، صص ۴۶-۵۵.

لاهیجانی، حمید، حائری اردکانی، امید، شریفی، آرش، نادری بنی، عبدالمجید، (۱۳۸۹). *شاخص‌های ژئوشیمیایی و رسوب‌شناختی رسوبات خلیج گرگان*, نشریه اقیانوس‌شناسی، شماره ۱، صص ۴۵-۵۵.

محرم نژاد، ناهید، (۱۳۷۸). **ضوابط و استانداردهای زیستمحیطی، سازمان حفاظت محیط‌زیست.** مظفری زاده، جابر، سجادی، زهراء، (۱۳۹۲). بررسی علل شوری و نفوذ آب شور رودهای دالکی و حله به آبخوان برآذجان، مجله مهندسی منابع آب، دوره ۶، شماره ۱۶، صص ۶۹-۷۸.

مقیمی، محمدمهری، امین، سیف‌الله، (۱۳۹۴). بررسی عوامل مؤثر بر غلظت آمونیاک غیریونیزه و تأثیر این ماده بر آبزیان در رودخانه کر، نشریه آبیاری و آب ایران، دوره ۶، شماره ۲، صص ۳۷-۴۷.

مهاجرانی، شیوا، امینی، عبدالحسین، (۱۳۷۹). رسوب‌شناسی کویر میقان با نگرشی ویژه و نحوه گسترش نهشته‌های تبخیری، چهارمین همایش انجمن زمین‌شناسی ایران، تبریز، دانشگاه تبریز.

نخعی، محمد، و دیعتی، میثم، صابری نصر، امیر، (۱۳۹۰). ارزیابی تحولات هیدروژئوشیمیایی دشت تربت حیدریه، پانزدهمین همایش انجمن زمین‌شناسی ایران، تهران، دانشگاه تربیت معلم تهران.

- Adesuyi, A.A., Nnodu, V., Njoku, K., Land A., Jolaoso, A., (2015). **Nitrate and Phosphate Pollution in Surface Water of Nwaja Creek, Port Harcourt, Niger Delta, Nigeria**, International Journal of Geology, Agriculture and Environmental Sciences, Vol 3 (5): 14-20
- Basatnia, N., Hosseini, S.A., Rodrigo-Comino, J., Khaleidian, Y.C., Brevik, E.C., Aitkenhead-Peterson, J., Natesan, U., (2018). **Assessment of temporal and spatial water quality in international Gomishan Lagoon, Iran, using multivariate analysis**, Environmental Monitoring and Assessment, Vol 190 (314): <https://doi.org/10.1007/s10661-018-6679-2>.
- Hoguane, M.A., (2010). **Dissolved Oxygen and Biochemical Oxygen Demand in the Jeremias Joaquim Mocuba, Master thesis in Chemical Oceanography waters close to the Quelimane sewage discharge**, Geophysical Institute, University of Bergen– Norway, António School of Marine and Coastal Sciences, Eduardo Mondlane University– Quelimane.
- Iscen, C.F., Emiroglu, O., Ilhan, S., Arslan, N., Yilmaz, V., Ahiska, S., (2008). **Application of multivariate statistical techniques in the assessment of surface water quality in Uluabat Lake, Turkey**, Environmental Monitoring and Assessment, Vol 144: 269- 276.
- Ghadimi, F., Ghomi, M., (2012). **Statistical Analysis of the Hydrogeochemical Evolution of Groundwater in Alluvial Aquifer of Arak Mighan Playa, Markazi Province, Iran**, Journal of Water Sciences Research, Vol 4: 31- 45.
- Ghadimi, F., Ghomi, M., (2013). **Geochemical Evaluation of Drinking Water in Arak City, Iran**, Iranian Journal of Earth Sciences, Vol 5: 54- 65.
- Ghadimi, F., Ghomi, M., Azimi, R., (2015). **Sources of nitrate and bromide contaminants of groundwater in alluvial aquifer of Arak, Iran**, Journal of Tethys, Vol 4 (2): 100- 115.
- Gradilla-Hernández, M.A., Anda, J., García-González, A., Meza-Rodríguez, D., Yebra Montes, C., Perfecto-Avalos, Y., (2020). **Multivariate water quality analysis of Lake Cajitlán, Mexico**, Environmental Monitoring and Assessment, Vol 192: DOI: <https://doi.org/10.1007/s10661-019-7972-4>.
- Perry, C., Taylor, K., (2007). **Environmental Sedimentology**, Blackwell Publishing, 441 p.
- Pisarska, P., Mikołajczak, W., Jaroszek, H., Nowak, M., Dylewski, R., Cichy, B., (2017). **Processing of sodium sulphate solutions using the EED method: from a batch toward a continuous process**, Journal of Chemical Technology, Vol 19 (1): 54- 58.
- WHO., (2017). **Guidelines for Drinking-water Quality**, fourth ed. incorporating the first addendum, Geneva.